

# Apport de la minéralogie et de la cristallochimie à la connaissance des conditions de mise en place de l'intrusion mafique-ultramafique à Ni-Cu-EGP de Samapleu (complexe lité Yacouba, ouest de la Côte d'Ivoire)

Gnamba Emmanuel Franck GOUEDJI<sup>1\*</sup>, Marc-Antoine AUDET<sup>2</sup>, Yacouba COULIBALY<sup>3</sup>, Christian PICARD<sup>4</sup>, Naomi OUATTARA<sup>5</sup>, Bouaké BAKAYOKO<sup>2</sup>

1 : Université de Man - BPV20 Man - Côte d'Ivoire

2 : Sama Nickel-CI sarl, 2 plateaux Vallons, 28 BP 1467, Abidjan 28,

Côte d'Ivoire

3 : LGSM, UFR STRM, Université Félix HOUPHOUËT-BOIGNY d'Abidjan (Cocody)

22 BP 582 Côte d'Ivoire

4 : Université de Franche-Comté (UMR 6249), 16, route de Gray, 25000 Besançon, France.

5. BNETD Cocody-Côte d'Ivoire, 04 BP 945, Abidjan 04, Côte d'Ivoire.

\*Auteur correspondant: [gouedjiemmanuel@gmail.com](mailto:gouedjiemmanuel@gmail.com); BPV20 Man - Côte d'Ivoire.

## Résumé

Le dyke de Samapleu est localisé dans les régions de Biankouma et de Sipilou (Ouest de la Côte d'Ivoire). Selon la chimie des minéraux de cette intrusion, elle se serait formée à partir d'un magma d'origine mantellique de composition basaltique par cristallisation fractionnée ; caractérisé par de faibles teneurs en Cr<sub>2</sub>O<sub>3</sub>, Na<sub>2</sub>O et TiO<sub>2</sub>, un enrichissement modéré en fer (2 à 6 %) dans les CPX et des valeurs en MgO élevées au sein des minéraux des lithologies des occurrences de l'Extension 1 et de la zone principale de Samapleu.

Par ailleurs, les lithologies de cette intrusion présentent des structures pétrographiques (kinks de déformation, des extinctions onduleuses) et des caractéristiques cristallochimiques et minéralogiques (teneurs élevées en aluminium dans les OPX, fortes teneurs en anorthite dans les espèces de plagioclase, présence d'hercynite et de magnétite chromifère). Ces caractéristiques semblent indiquer que l'intrusion de Samapleu (2,09 Ga) a pu être métamorphisée dans le faciès granulite ; alors que le métamorphisme granulitique décrit dans cette région et ayant affecté l'encaissant granulitique de l'intrusion de Samapleu a été daté du Libérien (2,8 Ga). Ces caractéristiques qui correspondent à celles d'un métamorphisme granulitique sont en réalité la résultante des conditions de mise en place de l'intrusion (P = 7,5±1 kbar et T = 850°C ± 100°C) ; c'est-à-dire une mise en place en base de croûte à environ 22 km. Ainsi, l'intrusion de Samapleu pourrait être contemporaine de la convergence tectonique éburnéenne entre la croûte birimienne et la croûte archéenne entre 2,1 et 2,05 Ga.

**Mots clés:** Minéralogie et cristallochimie, Dyke de Samapleu, Complexe lité Yacouba, Archéen - Paléoprotérozoïque, Côte d'Ivoire.

## Abstract

The Samapleu dyke is located in the Biankouma and Sipilou regions (western Ivory Coast).

According to the mineral chemistry of this intrusion, it is formed from a magma of mantle origin of basaltic composition by fractional crystallization; characterized by low contents of Cr<sub>2</sub>O<sub>3</sub>, Na<sub>2</sub>O and TiO<sub>2</sub>, moderate iron enrichment (2-6%) in CPX and high MgO values in the lithologies of Extensions 1 and Main Zone occurrences of Samapleu.

Moreover, this intrusion lithologies present petrographic structures (deformation kinks and undulous extinction), crystal-chemical and mineralogical characteristics (high aluminum content in OPX, high anorthite content in plagioclase species, presence of hercynite and chromite magnetite). These features suggest that the Samapleu intrusion (2.09 Ga) could be metamorphosed into the granulite facies; while the granulitic metamorphism described in this region and affecting the granulitic host of the Samapleu intrusion has been dated to Liberian (2.8 Ga). These characteristics, which correspond to those of a granulitic metamorphism, are actually the result of the conditions of establishment of the intrusion (P = 7.5 ± 1 kbar and T = 850 °C ± 100 °C); a crust base emplacement at about 22 km. Therefore, Samapleu intrusion could be coeval of the Eburnean tectonic convergence between the birimian crust and the archean craton between 2.1 and 2.05 Ga.

**Keywords:** Mineralogy and crystal-chemistry, Samapleu dyke, Yacouba layered complex, Archean-Paleoproterozoic, Ivory Coast.

## 1. Introduction

Le dyke de Samapleu appartient au complexe Yacouba qui a été identifié en 2012 dans les régions de Biankouma et de Sipilou (Ouest de la Côte d'Ivoire), par la société minière Sama Nickel-CI. Le complexe Yacouba daté de 2,09 Ga (âge U/Pb obtenu sur rutile), est intrusif dans les granulites gneissiques archéens du domaine Kenema-Man de la dorsale de Man. Ce dyke contient la minéralisation sulfuree de Ni-Cu de Samapleu. Cette intrusion qui est constituée de trois entités à savoir l'occurrence principale (SM), l'Extension 1 (E1) et l'occurrence de Yorodougou (Yo), est composée d'unité mafique (gabbro-norite, norite, anorthosite) et d'unité ultramafique (péridotite, pyroxénite et chromitite).

Les caractéristiques pétrographiques et lithologiques de cette intrusion montrent des marqueurs de la déformation à haute température (contours rectilignes avec joints triples d'environ 120° par endroits, des kinks de déformation, des extinctions onduleuses). Ces observations semblent indiquer que cette intrusion a été affectée par un métamorphisme de haut grade. L'analyse pétrographique et cristallochimique permettra de relever les conditions de formation des lithologies et la probable influence d'un métamorphisme de haut grade sur l'intrusion.

Après le rappel des principales caractéristiques géologiques du dyke de Samapleu, l'article étudie la cristallochimie des minéraux de l'intrusion pour connaître les conditions de formation des

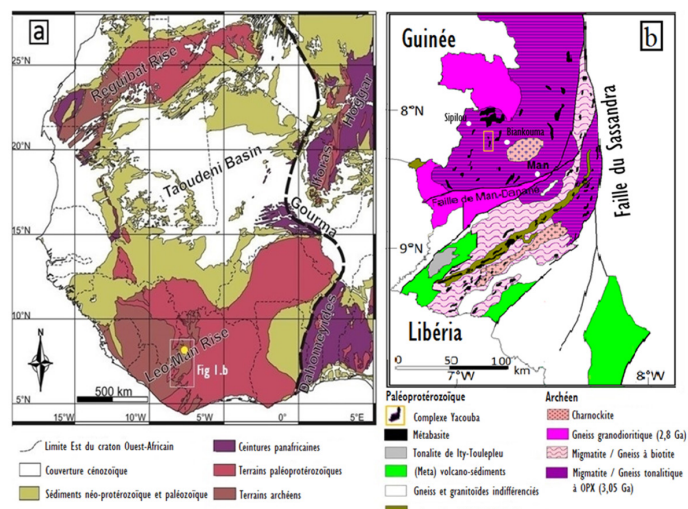
lithologies et identifier les phénomènes ayant affectés ce dyke.

## 2. Contexte géologique du dyke de Samapleu

Le dyke mafique et ultramafique de Samapleu est localisé au sud du craton ouest-africain (constitué de terrains archéens et paléoprotérozoïques) dans la dorsale Man-Leo (Fig. 1a, Berger et al., 2013).

En Côte d'Ivoire, la dorsale Man-Leo (Fig. 1a) a été affecté à l'ouest par les orogénèses Léonien (3,3-3,0 Ga) et Libérien (2,9-2,7 Ga), deux événements majeurs magmatiques et métamorphiques (Camil, 1981, 1984; Kouamelan et al., 1997) et à l'Est par l'orogénèse Éburnéen (2,2-2,0 Ga ; Pitra et al., 2010). La dorsale Man-Leo située à l'ouest, a été profondément remaniée à certains endroits durant l'événement tectono-métamorphique éburnéen, contemporain de la genèse des formations birimien (Kouamelan et al., 1997 ; Thieblemont et al., 2004 ; Gouedji et al., 2014 ; Kouamelan et al., 2015 ; Kouamelan et al., 2017).

Le dyke de Samapleu (2,09 Ga, âge U-Pb obtenu sur rutile; Gouedji, 2014; Gouedji et al., 2014), appartient au complexe mafique

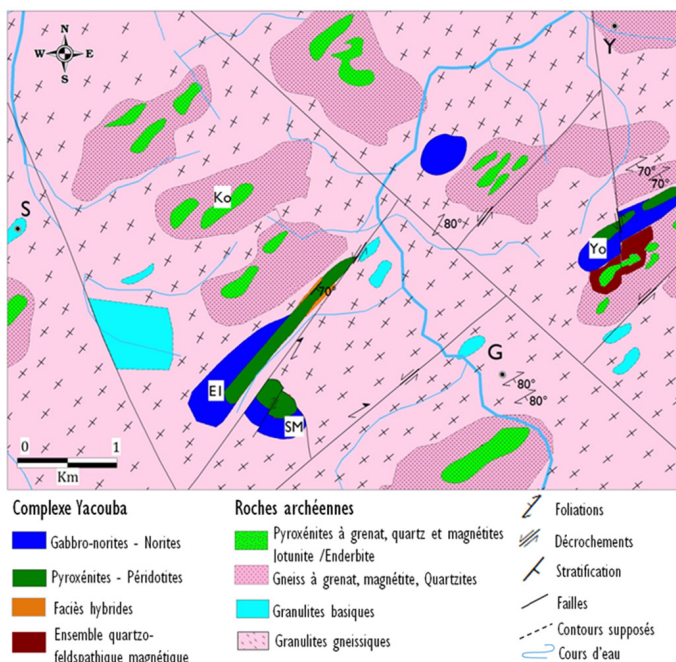


**Figure 1 :** Cartes géologiques schématiques de la région d'étude. **a.** Bouclier Ouest-africain (Berger et al., 2013); **b.** Craton de Man dans l'ouest de la Côte d'Ivoire (Pitra et al., 2010) ; carré jaune = zone de Sipilou-Biankouma avec indication du complexe Yacouba (Gouedji et al. 2014).

ultramafique Yacouba situé dans les régions de Biankouman et de Sipilou, au nord de la faille de Danane-Man (Fig. 1b).

Ce dyke est intrusif dans les formations granulitiques (3,05 Ga), charnockites et jotunites-enderbites (2,8 Ga; Kouamelan, 1996; Kouamelan et al., 1997; Pitra et al., 2010 ; Gouedji et al., 2014). Il comprend des assemblages ultramafiques (péridotite, pyroxénite et chromitite), des assemblages mafiques (gabbro-norite, norite, anorthosite) et une zone hybride au contact de l'intrusion et de l'encaissant granulitaire (Fig. 2, Gouedji et al 2014 ; Gouedji, 2014). Ces formations sont minéralisées en sulfures de nickel-cuivre (pyrrhotite, pentlandite, chalcopyrite) et en minéraux du Groupe de Platine (MGP). Cette intrusion est composée de l'occurrence principale (SM), celle de l'Extension 1 (E1) et enfin celle de Yorodougou (Yo; Fig. 2). L'extension 1 s'étend sur plus de 2 km à la surface, varie de 60 à 200 m d'épaisseur, avec une direction NE-SO et un pendage de 70° - 80° vers le SE. Les horizons mafiques-ultramafiques sont disposés de manière rythmique et symétrique

avec les lithologies ultramafiques en bordure, celles mafiques étant au centre. L'occurrence de Yorodougou orientée ENE-OSO, a une longueur de 1,5 km en surface avec un pendage de 70° - 80°



**Figure 2 :** Carte géologique schématique de la zone de Samapleu comprenant les occurrences mafiques-ultramafiques de la zone principale - Extension 1 –Yorodougou avec les roches de la région (gneiss granulitiques, quartzites, jotunites et enderbites) Gouedji et al., 2014. Occurrence Extension 1 = E1; Occurrence de la zone principale = SM; Occurrence de Yorodougou = Yo; Samapleu = S; Gangbapleu = G; Yorodougou = Y.

vers le SE. Celle de la zone principale, moins longue et de forme arrondie, est orientée NO-SE à SO-NE et a un pendage subvertical. En outre, les contacts entre les différentes lithologies de l'intrusion de Samapleu sont redressés.

Ces occurrences semblent former en surface un pli avec un axe subvertical et un plan axial parallèle à la foliation régionale (NE-SO). En profondeur (à environ 600 m de la surface du sol), à l'Extension 1, l'intrusion s'aplatit pour former un type de structure en entonnoir qui se connecte sur l'autre bord avec l'occurrence de la zone principale. Les deux occurrences (SM et E1) se rejoindraient pour former une seule entité avec une continuité latérale du corps mafique-ultramafique.

L'intrusion de Samapleu a été affectée par une déformation fragile; tout d'abord un ensemble de failles sénestres orientées NE-SO qui recoupent le pli et affectent les occurrences E1 et SM. Ensuite, dans la zone de SM, le dyke est affecté par une faille inverse de direction NO-SE avec un plongement de 40° à 50° vers le SO. Plus tardivement, des failles verticales orientées N-S, parallèles à la faille de Sassandra et une faille dextre orientée NO-SE recoupent les structures antérieures(Fig. 2 ; Gouedji et al., 2014). Ces failles ont des directions similaires aux directions observées dans les assemblages birimien (Coulibaly et al., 2012).

## 3. Approche méthodologique

La lithologie de l'intrusion de Samapleu a été caractérisée à partir de données de plus de 35000 m de forages carottés. Ces forages ont été décrits macroscopiquement et plus de 60 échantillons de roches ont

étaient prélevés pour la confection de lames minces polies pour affiner la caractérisation des minéraux des différentes lithologies.

Les compositions chimiques des minéraux (silicates et oxydes) des occurrences SM et E1 de Samapleu ont été déterminées à la microsonde électronique. Les principaux minéraux analysés sont l'olivine, l'orthopyroxène, le clinopyroxène, l'amphibole, les spinelles, le plagioclase et la serpentine.

Les échantillons des occurrences E1 ont été analysés à la microsonde électronique de type JEOL JXA-8200 et de type JEOL JXA-8230 respectivement à l'Université de Lausanne en Suisse et à l'Institut Supérieur du Tertiaire (IST) de Grenoble en France. L'analyse pour la quantification de la composition chimique des minéraux s'est faite sous une tension d'accélération de 15 kV, une intensité du courant de 15 nA, un faisceau de 5 à 10 µm et un temps de comptage pouvant excéder les 10 secondes par élément analysé.

Les échantillons de l'occurrence SM ont été analysés à la microsonde électronique de type CAMEBAX au laboratoire mixte du BRGM-CNRS-Université d'Orléans en France. L'analyse des minéraux a été faite sous une tension d'accélération de 15kV, pour une intensité de courant de 10 ou 12 nA et un temps de comptage de 10 secondes.

Les diverses variétés de serpentines des périclites des occurrences E1 et SM ont été caractérisées par la spectrométrie Raman à l'Ecole Normale Supérieure (ENS) de Lyon. Cette analyse utilisée pour différencier les variétés structurales des serpentines avec des spectres référence (Lemaire, 2000 ; Auzende, 2003 ; Auzende et al., 2004; Groppo et al., 2006; Schwartz et al., 2012) se fait par couplage d'un microscope optique avec un spectromètre en excitant un matériau.

## 4. Résultats

### 4.1. Pétrographie du dyke de Samapleu

L'analyse d'une soixantaine d'échantillons de roches prélevées dans les zones SM et E1 (Tab. I) montrent à travers la pétrographie et la minéralogie des lithologies que les séquences mafiques-ultramafiques du dyke sont constituées de cumulats. Ces assemblages minéralogiques au sein des lithologies de l'intrusion sont résumés dans le tableau I.

Au sein de l'unité ultramafique du dyke de Samapleu, la périclite (Iherzolite, harzburgite et dunite) partiellement serpentiniisée et magnétique (Fig. 3a) est composée majoritairement d'olivine (minéral cumulus) associée aux pyroxènes (orthopyroxène (OPX) et clinopyroxène (CPX)) et à l'amphibole, tous interstitiels subautomorphes à xénomorphes.

La chromitite comme la webstérite à spinelles et/ou chromite formant des bandes centimétriques à décimétriques sont magnétiques. Elles sont de couleur noire, massives, denses et composées de chromite et/ou de spinelles interstitiels avec des textures en filet (Fig. 3b) qui entourent les OPX, CPX et l'olivine. Accessoirement le plagioclase et la phlogopite interstitiels sont présents, de même que l'amphibole.

Dans la webstérite à olivine (Fig. 3c), l'OPX (environ 40 % de la roche) incrusté de chadocristaux d'olivine ou de CPX par endroit est un intercumulus. Les spinelles interstitiels comme l'amphibole, se trouvent par endroit en inclusion dans

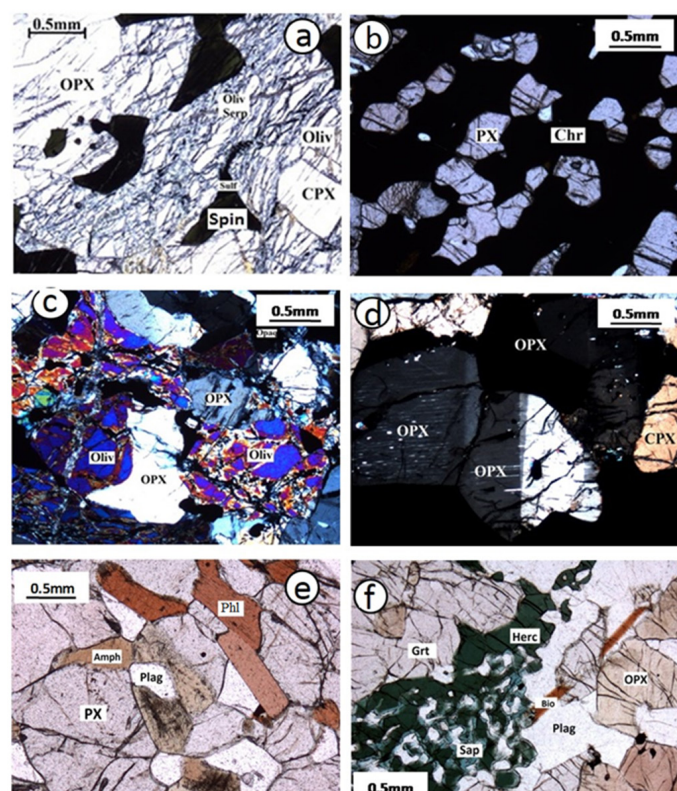
les pyroxènes. Certains échantillons de cette formation sont partiellement serpentiniisés et magnétiques.

La webstérite est constituée majoritairement d'OPX et de CPX, automorphes à subautomorphes avec de rares cristaux d'olivine poecilitiques (Fig. 3d). Les CPX disparaissent par endroits et donnent lieu à des orthopyroxénites. Les spinelles allotriomorphes sont interstitiels ou en exsolution dans les pyroxènes avec de l'amphibole.

La webstérite à plagioclase est composée majoritairement de plagioclase xénomorphe à subautomorphe, interstitiel entre les cristaux d'OPX, de CPX et d'amphibole. Les spinelles sont disparates dans cette formation et la phlogopite est de plus en plus présente.

Au sein de l'unité mafique, le gabbro-norite est constitué essentiellement de plagioclase avec de faible proportion d'OPX, de CPX et d'amphibole. Les CPX sont disparates par endroits, laissant apparaître la norite. Les plagioclases subautomorphes, interstitiels aux pyroxènes, forment 30 à 40 % du gabbro-norite et de la norite. La proportion de plagioclase varie et peut atteindre 80 à 90 % de la roche pour former l'anorthosite. La phlogopite de plus en plus présente est automorphe (Fig. 3e). On peut noter la présence de rares cristaux de quartz.

La présence systématique d'amphibole est remarquable dans toutes les lithologies de l'intrusion de même que les minéraux



**Figure 3 :** Microphotographies de différentes séquences de l'intrusion de Samapleu.  
**a.** Lherzolite serpentiniisée avec spinelle et sulfure interstitiel; **b.** Chromitite avec chromite interstitielle formant un réseau en filet autour des pyroxènes; **c.** Webstérite à olivine avec olivine cumulus et orthopyroxène postcumulus; **d.** Webstérite avec pyroxènes à kinks de déformation et extinction ondulée; **e.** Gabbro-norite avec phlogopite sub-automorphe; **f.** Faciès hybride avec saphirine et hercynite.  
Oliv = olivine ; Opx = orthopyroxène ; Cpx = clinopyroxène ; PX = Pyroxène ; Serp = serpentine ; Plag = plagioclase ; Amph = amphibole ; Herc = hercynite ; Phl = Phlogopite ; Sap = saphirine ; Cord = cordiérite ; Sulf = sulfure ; Spin = spinelle ; CHR = chromite ; Grt = grenat.

**Tableau I** : Paragenèses minérales des lithologies du dyke de Samapleu

Lithologies	Zones	Forages	Échantillons	Chr	Oliv	Serp	OPX	CPX	Amph	Plagio	Spin	Mag	Phl	Qtz	Op
<b>Unité éultramafique</b>															
Chromitite	SM	S12	S12-63	+			+	+				+			+
	SM	S06	S06-59	+	+		+	+							+
	SM	S06	S06-32	+	+		+	+							+
	SM	S12	S12-76	+			+								+
	E1	SM24-661614	SM24-273,8	+	+		+	+	+	+	+			+	
	E1	SM24-661614	SM24-102	+	+		+	+	+	+	+			+	
Webstérite à chro mite	SM	SM44-505224	SM445/39,9	+	+		+	+	+			+			+
	SM	SM44-505224	SM445/42,4	+	+		+	+	+			+	+	+	+
Webstérite spinelle	à E1	SM24-661614	SM24-271				+	+	+	+	+				
	E1	SM24-628651	SM24(b)/197,3				+	+	+		+	+			
Dunite	SM	S06	S06-74	+	+							+			
Lherzolite	E1	SM24-661614	SM24-182	+	+	+	+	+			+	+			
	E1	SM24-661614	SM24-83	+	+	+	+	+			+	+			
	SM	S M 4 4 - 4 5 0 2 5 0 ( b )	SM44b-27,8	+	+	+	+	+			+				
	SM	SM44-450250a	SM44a-38,8	+	+	+	+	+			+	+			+
	SM	S06	S06-135	+		+	+				+				+
	SM	S06	S06-83	+		+	+				+	+			
Harzburgite	SM	T2/2	T2/2-27	+			+					+			
	SM	S06	S06-116	+			+					+	+		
	SM	S12	S12-64	+			+					+			+
	SM	S16	S16-30	+			+					+			+
	SM	SM44-680289	SM44 (3)/110	+	+	+	+	+			+	+	+	+	
Webstérite à olivine	E1	SM24-661614	SM24-217,5	+			+	+				+			
	E1	SM24-661614	SM24-118,4	+			+	+				+			
	E1	SM24-661614	SM24-67,8	+			+	+				+			
	SM	S M 4 4 - 4 5 0 2 5 0 ( b )	SM44b-20,5	+	+	+	+	+							
	SM	SM44-517178	SM44-517/72	+	+	+	+	+				+	+		
	SM	SM44-680289	SM44 (3)/115	+	+	+	+	+			+	+	+		+
	SM	S06	S06-154	+			+	+				+			+
	SM	S12	S12-102b	+			+	+				+			
Webstérite	E1	SM24-661614	SM24-156				+	+	+			+			
	E1	SM24-661614	SM24-97				+	+	+						+
	E1	SM24-661614	SM24-67,4	+			+	+	+						+
	SM	S M 4 4 - 4 5 0 2 5 0 ( b )	SM44b-44,10				+	+	+						
	SM	SM44-450250a	SM44a-91,3				+	+	+			+			
	SM	S2A	S2A-2				+	+	+						+
	SM	SM44-517178	SM44-517/179				+	+	+						
	SM	SM44-525290	SM44-525/83				+	+	+			+		+	
	SM	S41	S41-76				+	+	+			+			+
Orthopyroxénite	SM	S06	S06-42	+			+	+	+			+			+
Webstérite à plagioclase	E1	SM24-661614	SM24-266				+	+	+	+					+
	SM	S M 4 4 - 4 5 0 2 5 0 ( b )	SM44b-47,3				+	+	+	+					+
	SM	S M 4 4 - 4 5 0 2 5 0 ( b )	SM44b-74,6				+	+	+	+	+				
	SM	S M 4 4 - 4 5 0 2 5 0 ( b )	SM44b-95,9				+	+	+	+				+	+
	SM	SM44-517178	SM44-517/65				+	+	+	+					
	SM	SM44-525290	SM44-525/119				+	+	+	+				+	+
	SM	S3A	S3A-40				+	+	+	+					+
	SM	S12	S12-60				+	+	+	+	+				+
<b>Unité mafique</b>															
Gabbro-norite	E1	SM24-661614	SM24-251				+	+	+	+					
	E1	SM24-480735	SM24-480/352				+	+	+	+					+
	SM	S M 4 4 - 4 5 0 2 5 0 ( b )	SM44b-117,8				+	+	+	+					+
	SM	S M 4 4 - 4 5 0 2 5 0 ( b )	SM44b-130,1				+	+	+	+					
	SM	S M 4 4 - 4 5 0 2 5 0 ( c )	SM44c- 122				+	+	+	+					+
	SM	SM44-450250a	SM44a-103				+	+	+	+				+	+
	SM	S12	S12-62				+	+	+	+					+
	SM	S2A	S2A-133				+	+	+	+					
Norite	SM	S12	S12-117				+	+	+						+
	SM	S12	S12-206				+	+	+						
Anorthosite	SM	S2A	S2A-79												+
	SM	S18	S18-90												
	SM	S01	S01-45				+								+

SM = Zone Principale ; E1 = Extension 1 ; Chr = chromite ; Oliv = olivine ; Serp = serpentinite ; Opx = orthopyroxène ; Cpx = clinopyroxène ; Amph = amphibole ; Plag = plagioclase ; Spin = spinelle ; Mag = Magnétite ; Phl = Phlogopite ; Qtz = Quartz ; Op = Minéraux Opaques

opaques constitués essentiellement de sulfure.

Les minéraux comme l'olivine, les pyroxènes et les plagioclases des deux occurrences (E1 et SM) présentent des caractéristiques métamorphiques, notamment des contours rectilignes avec joints triples d'environ 120° par endroits, des kinks de déformation et des extinctions onduleuses. En outre, un faciès hybride (aux contacts intrusion-granulite) présente une paragenèse à orthopyroxène-saphirine-cordiérite-spinelle-sillimanite (Fig. 3f).

## 4.2. Cristallochimie des minéraux du dyke de Samapleu

Les minéraux observés dans les lithologies de l'intrusion ont été caractérisés par leur chimie. Les principaux minéraux étudiés dans les zones E1 et SM sont l'olivine, l'orthopyroxène, le clinopyroxène, le plagioclase, la serpentine, l'amphibole et les spinelles.

### • Olivine

Dans le dyke de Samapleu, les cristaux d'olivine sont fortement magnésiens (le nombre Mg - Mg# fluctue entre 0,76 et 0,90). Les espèces d'olivine de la zone E1 ont des teneurs en forstérite (Fo) de 80 à 88 % et celles de la zone SM de 76 à 90 %. Ce sont donc des chrysolites (Roubault et al., 1963). Ceux contenus dans la chromitite sont les plus magnésiens avec des teneurs situées entre Fo<sub>87</sub> et Fo<sub>88</sub> à l'Extension 1 et entre Fo<sub>78</sub> et Fo<sub>90</sub> dans la zone SM (Tab. II). Les teneurs en NiO sont inférieures ou égales à 0,35 % dans l'intrusion de Samapleu et les teneurs cationiques en Ni sont inférieures à 2800 ppm (Tab. II), donc nettement inférieures à 3500 ppm (teneur normale de Ni cation dans une olivine mantellique).

### • Pyroxènes

#### Orthopyroxènes

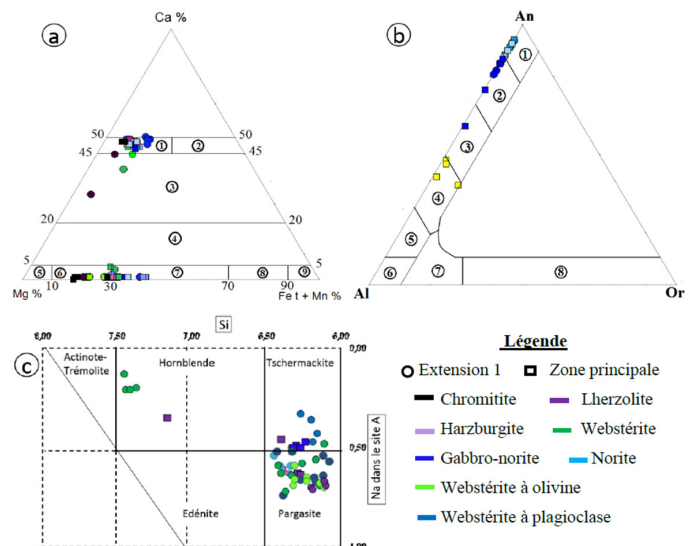
Les cristaux des orthopyroxènes du dyke de Samapleu sont magnésiens et correspondent à la bronzite et à l'hypersthène (Fig. 4a). Les signatures des OPX sont sensiblement les mêmes dans les deux zones (E1 et SM). Cela veut dire que le Mg# des cristaux des OPX varie entre 0,72 et 0,92 et que les OPX les plus magnésiens sont dans la chromitite ; les teneurs en Al<sub>2</sub>O<sub>3</sub> sont élevées et fluctuent entre 1 et 4 % ; le contenu en molécule de Ca-Tschermark's élevé varie entre 1 et 7 % et les teneurs sont toujours faibles en Cr<sub>2</sub>O<sub>3</sub> (<0,6 %) et TiO<sub>2</sub> (<0,2 % ; Tab. III et IV).

#### Clinopyroxènes

Les espèces de CPX de l'intrusion de Samapleu sont fortement magnésiennes (Mg# supérieurs à 0,85), particulièrement au sein de la chromitite et des péridotites. Le diagramme de Morimoto (1989) indique que les CPX de Samapleu sont majoritairement formés de diopside et accessoirement d'augite à l'Extension 1 avec un enrichissement modéré en fer (2 à 6 % ; Fig. 4a). Les signatures des CPX sont sensiblement les mêmes dans les deux zones (E1 et SM), avec des teneurs en Al<sub>2</sub>O<sub>3</sub> relativement élevées (1 à 8 %), des valeurs en Cr<sub>2</sub>O<sub>3</sub> (<0,9 %), Na<sub>2</sub>O (<0,76 %) et TiO<sub>2</sub> (<0,7 %) relativement faibles dans l'ensemble, un pourcentage en molécules de Ca-Tschermark's très élevé avec une large variabilité atteignant 9 % dans la zone principale et 13 % dans l'Extension 1 (Tab. V et VI).

Le diagramme binaire Al<sup>4</sup> en fonction d'Al<sup>6</sup> situe les CPX de l'intrusion de Samapleu dans le champ des minéraux de roches

igneuses, métamorphisées dans le faciès granulite (réf. Fig. 6c).



**Figure 4 :** Caractérisation des minéraux des lithologies de l'intrusion de Samapleu. **a.** Diagramme de Morimoto (1989) pour les orthopyroxènes et clinopyroxènes ; 1 = Diopside ; 2 = Hédenbergite ; 3 = Augite ; 4 = Pigeonite ; 5 = Enstatite ; 6 = Bronzite ; 7 = Hypersthène ; 8 = Eulite ; 9 = Ferrosilite. **b.** Diagramme de Deer et al. (1983) pour les plagioclases ; 1 = Anorthite ; 2 = Bytownite ; 3 = Labrador ; 4 = Andésine ; 5 = Oligoclase ; 6 = Albite ; 7 = Anorthoclase ; 8 = Sanidine, Orthoclase, Microcline. **c.** Diagramme de Seyler (2007) pour les amphiboles

### • Plagioclase

Les plagioclases du dyke de Samapleu sont composés de plusieurs espèces (An<sub>38</sub> à An<sub>94</sub>, Tab. VII). Dans la zone SM, les espèces de plagioclase sont l'anorthite et la bytownite dans la webstérite à plagioclase et la norite ; l'anorthite, la bytownite et le labrador dans le gabbro-norite et l'andésine dans l'anorthosite (Fig. 4b).

Dans la zone E1, les espèces de plagioclase sont composées d'anorthite dans la webstérite à plagioclase et de bytownite dans le gabbro-norite (Fig. 4b). Les teneurs en anorthite varient peu au sein d'une même séquence. La teneur en Fk (orthoclase) est faible quelque que soit la lithologie (Tab. VII).

### • Amphibole

Les espèces d'amphibole de l'intrusion de Samapleu sont magnésiennes (Mg# > 0,70), majoritairement alumineuses (Al<sub>2</sub>O<sub>3</sub> autour de 13 %) et calciques (CaO 12 % en moyenne) avec des teneurs en Na<sub>2</sub>O (Na<sub>2</sub>O < 3 %), Cr<sub>2</sub>O<sub>3</sub> (Cr<sub>2</sub>O<sub>3</sub> < 2 %) et TiO<sub>2</sub> (TiO<sub>2</sub> < 2 %) relativement faibles. Ces amphiboles appartiennent au groupe des amphiboles calciques car dans le site B elles ont dans leur organisation structurale (Mg, Fe<sup>2+</sup>, Mn<sup>2+</sup>, Li) ≤ 0,50, (Ca, Na) ≥ 1,00 et Na < 0,50 (Leake et al., 2004). Les variations chimiques observées sont attribuées à une combinaison de substitution de tschermackite, de pargasite et d'hornblende. Les amphiboles se répartissent en deux groupes : celles très peu siliceuses (Si < 6,5) sont constituées de tschermackite et de pargasite, celles à Si > 6,5 forment des hornblendes (Fig. 4c ; Tab. VIII et IX). Dans le diagramme Na (M4) en fonction de Al<sup>6</sup> + Ti + Fe<sup>3+</sup>, ces amphiboles tombent dans le champ des minéraux formés à moyenne-haute pression (Fig. 6d).

Tableau II : Analyses représentatives des olivines des zones Extension 1 et Principale

Site Roche	Extension 1										Zone principale																			
	Websterite à olivine					Lherzolite					Chromitite					Chromitite	Dunite	Lherzolite	Harzburgite	Pyro à olivine										
Echantillons	SM 1 - 67,8	SM24 - 1	SM1-217,5	SM24-1-83	SM1-182	SM24-1-102	SM24-1-102	SM24-1-102	SM24-1-102	SM24-1-102	SM24-1-102	SM24-1-102	SM24-1-102	SM24-1-102	SM24-1-102	SM24-1-102	SM24-1-102	SM24-1-102	SM24-1-102	SM24-1-102	SM24-1-102									
Analyses	73	386	46	53	58	429	432	1	13	19	479	482	484	32	24	58	59	64	65	92	93	58	71	80	71	108	105	122		
SiO <sub>2</sub> (%)	39,86	39,83	38,57	38,15	38,27	40,00	39,98	37,96	38,70	38,50	40,03	41,07	39,71	41,71	39,29	39,66	39,95	39,54	39,69	38,73	38,99	40,15	40,43	40,46	40,09	40,21	37,20	40,68		
TiO <sub>2</sub>	0,02	0,05	0,03	0,01	0,02	0,02	0,02	-	-	0,01	0,03	-	-	-	-	-	0,02	-	-	-	-	-	-	-	-	-	-			
Al <sub>2</sub> O <sub>3</sub>	-	-	0,01	0,01	-	0,05	-	-	-	-	-	0,05	0,08	-	-	-	-	-	-	-	-	-	-	-	0,02	0,01	0,06	0,01		
Cr <sub>2</sub> O <sub>3</sub>	0,02	-	0,04	0,02	-	-	-	-	-	-	-	-	-	-	-	-	-	-	-	-	-	-	-	-	-	-	-	-		
FeO	16,04	18,23	18,27	18,04	17,97	16,13	16,17	17,42	17,77	17,38	12,08	12,31	12,40	9,76	20,56	21,33	20,49	20,88	21,63	17,29	17,71	18,05	17,94	17,03	17,41	17,03	18,04	16,53		
MnO	0,34	0,23	0,26	0,19	0,31	0,22	0,30	0,33	0,30	0,15	0,18	0,18	0,17	0,24	0,19	0,21	0,36	0,29	0,43	0,19	0,10	0,35	0,24	0,18	0,24	0,45	0,20			
MgO	44,50	40,61	42,69	42,93	43,04	44,63	44,53	43,67	43,20	43,55	47,61	47,56	47,86	48,40	40,51	38,86	40,13	39,39	40,15	42,23	42,01	44,13	43,94	42,15	42,48	44,47	41,18	44,45		
CaO	0,03	0,04	0,01	-	0,02	-	0,01	0,01	0,01	-	-	0,02	-	-	-	-	-	-	-	-	-	-	-	-	0,03	0,04	-	-		
Na <sub>2</sub> O	-	0,11	0,02	0,04	0,01	0,08	0,01	0,04	0,02	-	0,02	-	-	-	-	-	-	-	-	-	-	-	-	-	-	-	-	-		
K <sub>2</sub> O	-	0,15	0,01	-	0,01	0,01	0,02	0,01	0,01	-	0,01	0,01	0,01	nd	nd	nd	nd	nd	nd	nd	nd	nd	nd	nd	nd	nd	nd	nd		
NiO	0,14	nd	0,19	0,25	0,28	nd	nd	0,33	0,30	0,30	nd	nd	nd	0,29	0,35	0,16	0,27	0,27	0,30	0,17	0,13	0,24	0,19	0,19	0,26	nd	0,29	nd		
Total	100,99	99,25	100,10	99,66	99,81	101,23	100,94	99,74	100,35	100,09	99,89	101,21	100,26	100,30	100,90	100,20	101,00	100,40	102,00	98,80	99,10	102,60	102,80	100,10	101,90	97,26	101,80			
Ni cation (ppm)	1106	nd	1476	2000	2179	nd	nd	2565	2394	2343	nd	nd	nd	nd	2278	2750	1257	2121	2121	2357	1335	1021	1885	1493	1493	2043	nd	2278	nd	
Si	1,00	1,02	0,99	0,98	0,98	1,00	1,00	0,97	0,98	0,98	0,99	1,00	0,98	1,02	1,00	1,02	1,02	1,02	1,02	1,02	1,01	1,00	0,99	1,00	1,02	1,01	1,00	0,98	1,01	
Ti	-	-	-	-	-	-	-	-	-	-	-	-	-	-	-	-	-	-	-	-	-	-	-	-	-	-	-	-		
Al	-	-	-	-	-	-	-	-	-	-	-	-	-	-	-	-	-	-	-	-	-	-	-	-	-	-	-	-		
Cr	-	-	-	-	-	-	-	-	-	-	-	-	-	-	-	-	-	-	-	-	-	-	-	-	-	-	-	-		
Fe	0,34	0,39	0,39	0,39	0,39	0,34	0,34	0,37	0,38	0,37	0,37	0,25	0,25	0,26	0,20	0,44	0,46	0,44	0,45	0,46	0,37	0,38	0,37	0,37	0,36	0,37	0,35	0,40	0,34	
Mn	0,01	-	0,01	0,01	-	0,01	-	0,01	0,01	0,01	-	-	-	-	0,01	-	0,01	0,01	0,01	0,01	0,01	-	0,01	0,01	-	0,01	-	-	-	
Mg	1,66	1,55	1,63	1,64	1,64	1,66	1,66	1,67	1,64	1,65	1,76	1,73	1,77	1,76	1,54	1,49	1,52	1,51	1,52	1,62	1,61	1,63	1,62	1,59	1,60	1,65	1,62	1,64	-	-
Ca	-	-	-	-	-	-	-	-	-	-	-	-	-	-	-	-	-	-	-	-	-	-	-	-	-	-	-	-	-	
Na	-	0,01	-	-	-	-	-	-	-	-	-	-	-	-	-	-	-	-	-	-	-	-	-	-	-	-	-	-	-	
K	-	-	-	-	-	-	-	-	-	-	-	-	-	-	-	-	-	-	-	-	-	-	-	-	-	-	-	-	-	
Ni	-	nd	-	0,01	0,01	nd	nd	0,01	0,01	0,01	nd	nd	nd	0,01	0,01	-	0,01	0,01	0,01	0,01	0,01	-	-	0,01	0,01	nd	0,01	nd		
Total	3,00	2,98	3,01	3,02	3,02	3,00	3,00	3,03	3,02	3,01	3,00	3,02	2,98	3,00	2,98	2,99	2,99	3,00	3,01	3,00	2,98	2,99	3,00	3,01	3,00	2,98	2,99	3,00	3,02	2,99
Forstérite	83,17	79,87	80,63	80,92	81,01	83,14	83,07	81,71	81,24	81,70	87,53	87,32	87,30	89,84	77,84	76,43	77,73	77,06	76,77	81,33	80,85	81,34	81,36	81,51	81,29	82,29	80,28	82,74		
Fayalite	16,83	20,13	19,37	19,08	18,99	16,86	16,93	18,29	18,76	18,30	12,47	12,68	12,70	10,16	22,16	23,57	22,27	22,94	23,23	18,67	19,15	18,66	18,64	18,71	17,71	19,72	17,26	-	-	
#Mg	0,83	0,80	0,81	0,81	0,83	0,82	0,81	0,82	0,82	0,81	0,82	0,87	0,87	0,90	0,78	0,76	0,78	0,77	0,77	0,81	0,81	0,81	0,82	0,81	0,82	0,80	0,83	0,83	0,83	

\*Note : (1) nombre d'Oxygène = 4O ; (2) nd = non déterminé ; (3) - : limite de détection

Tableau III: Analyses représentatives des orthopyroxènes de la zone Extension 1

Site Roche	Extension 1						Zone principale																					
	Webstérite à olivine			Lherzolite			Chromitite			Chromitite			Dunite			Lherzolite			Harzburgite									
Echantillons	SM 1 -	SM24-1-	SM1-217,5		SM24-1-83		SM1-182		SM24-1-102		S06-31	S06-59	S06-74	S06-83	S06-135	T2/2-27	S06-135	T2/2-27	S06-135	T2/2-27	S06-135	T2/2-27	S06-135	T2/2-27	S06-135	T2/2-27		
Analyses	73	386	46	53	58	429	432	1	13	19	479	482	484	32	24	58	59	64	65	92	93	58	71	80	71	108	105	122
SiO <sub>2</sub> (%)	39,86	39,83	38,57	38,15	38,27	40,00	39,98	37,96	38,70	38,50	40,03	41,07	39,71	41,71	39,29	39,66	39,95	39,54	39,69	38,73	38,99	40,15	40,43	40,46	40,09	40,21	37,20	40,68
TiO <sub>2</sub>	0,02	0,05	0,03	0,01	0,02	0,02	0,02	-	0,01	0,03	-	0,03	-	-	-	0,02	-	-	0,02	-	-	-	-	-	-	-	-	
Al <sub>2</sub> O <sub>3</sub>	-	-	0,01	0,01	-	0,05	-	-	-	-	-	0,05	0,08	-	-	-	-	-	-	-	-	-	-	-	0,02	0,01	0,06	0,01
Cr <sub>2</sub> O <sub>3</sub>	0,02	-	0,04	0,02	-	-	-	-	-	-	-	-	-	-	-	nd	nd	nd	nd	nd	nd	nd	nd	nd	nd	nd	nd	nd
FeO	16,04	18,23	18,27	18,04	17,97	16,13	16,17	17,42	17,77	17,38	12,08	12,31	12,40	9,76	20,56	21,33	20,49	20,88	21,63	17,29	17,71	18,05	17,94	17,03	17,41	17,03	18,04	16,53
MnO	0,34	0,23	0,26	0,19	0,19	0,31	0,22	0,30	0,33	0,30	0,15	0,18	0,18	0,17	0,24	0,19	0,21	0,36	0,29	0,43	0,19	0,10	0,35	0,24	0,18	0,24	0,45	0,20
MgO	44,50	40,61	42,69	42,93	43,04	44,53	44,53	43,67	43,20	43,55	47,61	47,56	47,86	48,40	40,51	38,86	40,13	39,39	40,15	42,23	42,01	44,13	43,94	42,15	42,48	44,47	41,18	44,45
CaO	0,03	0,04	0,01	-	0,02	-	-	0,01	0,01	0,01	-	-	0,02	-	0,02	-	-	-	-	-	-	-	-	0,03	0,04	-	-	
Na <sub>2</sub> O	0,03	0,11	0,02	0,04	0,01	0,08	0,01	0,04	0,02	-	0,02	-	-	nd	nd	nd	nd	nd	nd	nd	nd	nd	nd	nd	nd	nd	nd	
K <sub>2</sub> O	-	0,15	0,01	0,01	0,02	0,01	0,01	0,02	0,01	0,01	-	0,01	0,01	nd	nd	nd	nd	nd	nd	nd	nd	nd	nd	nd	nd	nd	nd	
NiO	0,14	nd	0,19	0,25	0,28	nd	nd	0,33	0,30	0,30	nd	nd	nd	0,29	0,35	0,16	0,27	0,27	0,30	0,17	0,13	0,24	0,19	0,19	0,26	0,29	nd	nd
Total	100,99	99,25	100,10	99,66	99,81	101,23	100,94	99,74	100,35	100,09	99,89	101,21	100,26	100,30	100,90	100,20	101,00	100,40	102,00	98,80	99,10	102,60	102,80	100,10	100,40	101,90	97,26	101,80
Ni cation (ppm)	1106	nd	1476	2000	2179	nd	nd	2565	2394	2343	nd	nd	nd	2278	2750	1257	2121	2121	2357	1335	1021	1885	1493	1493	2043	nd	2278	nd
Si	1,00	1,02	0,99	0,98	0,98	1,00	1,00	0,97	0,98	0,98	0,99	1,00	0,98	1,02	1,00	1,02	1,02	1,02	1,01	1,00	1,00	0,99	1,00	1,02	1,01	1,00	0,98	1,01
Ti	-	-	-	-	-	-	-	-	-	-	-	-	-	-	-	-	-	-	-	-	-	-	-	-	-	-	-	
Al	-	-	-	-	-	-	-	-	-	-	-	-	-	-	-	nd	nd	nd	nd	nd	nd	nd	nd	nd	nd	nd	nd	nd
Cr	-	-	-	-	-	-	-	-	-	-	-	-	-	-	-	nd	nd	nd	nd	nd	nd	nd	nd	nd	nd	nd	nd	
Fe	0,34	0,39	0,39	0,39	0,39	0,34	0,34	0,37	0,38	0,37	0,37	0,25	0,25	0,26	0,20	0,44	0,46	0,44	0,45	0,46	0,37	0,38	0,37	0,37	0,36	0,35	0,40	0,34
Mn	0,01	-	0,01	-	-	0,01	-	0,01	0,01	0,01	-	-	-	-	0,01	0,01	0,01	0,01	0,01	0,01	0,01	0,01	-	0,01	0,01	-	-	
Mg	1,66	1,55	1,63	1,64	1,64	1,66	1,66	1,67	1,64	1,65	1,76	1,73	1,77	1,76	1,54	1,49	1,52	1,51	1,52	1,62	1,61	1,63	1,62	1,59	1,60	1,65	1,62	1,64
Ca	-	-	-	-	-	-	-	-	-	-	-	-	-	-	-	nd	nd	nd	nd	nd	nd	nd	nd	nd	nd	nd	nd	
Na	-	-	0,01	-	-	-	-	-	-	-	-	-	-	-	-	nd	nd	nd	nd	nd	nd	nd	nd	nd	nd	nd	nd	
K	-	-	-	-	-	-	-	-	-	-	-	-	-	-	-	nd	nd	nd	nd	nd	nd	nd	nd	nd	nd	nd	nd	
Ni	-	nd	-	0,01	0,01	nd	nd	0,01	0,01	0,01	nd	nd	nd	0,01	0,01	0,01	0,01	0,01	0,01	0,01	0,01	-	-	-	0,01	nd	0,01	
Total	3,00	2,98	3,01	3,02	3,00	3,00	3,03	3,02	3,02	3,01	3,00	3,02	3,02	2,98	3,00	2,98	2,99	2,99	3,00	3,01	3,00	2,98	2,99	3,00	3,02	2,99	3,00	
Forstérite	83,17	79,87	80,63	80,92	81,01	83,14	83,07	81,71	81,24	81,20	87,53	87,32	87,30	89,84	77,84	76,43	77,73	77,06	76,77	81,33	80,85	81,34	81,36	81,51	81,29	82,29	80,28	82,74
Fayalite	16,83	20,13	19,37	19,08	18,99	16,86	16,93	18,29	18,76	18,30	12,47	12,68	12,70	10,16	22,16	23,57	22,27	22,94	23,23	18,67	19,15	18,66	18,64	18,49	18,71	17,71	19,72	17,26
#Mg	0,83	0,80	0,81	0,81	0,83	0,83	0,82	0,81	0,82	0,88	0,87	0,87	0,90	0,78	0,76	0,78	0,77	0,81	0,81	0,81	0,82	0,81	0,82	0,80	0,83	0,82		

\*Note : (1) nombre d'Oxygène = 6 O ; (2) nd = non déterminé ; (3) - : limite de détection

Tableau IV: Analyses représentatives des orthopyroxènes de la zone principale

Site Roches	Zone principale Webstérite à olivine	Lherzolite				Harzburgite				Webstérite à plagioclase				Chromitite				Webstérite				Gabbro-norite							
		S06-154	S06-42	S12-102b	S06-83	S06-83	T2/2-27	S2A-2	S06-31	S06-59	S41-76	S12-61	S12-62	S2A-133	S 1 2 -	S 1 2 -	S 1 2 -	S 1 2 -	S 1 2 -	S 1 2 -	S 1 2 -	S 1 2 -	S 1 2 -	S 1 2 -	S 1 2 -	S 1 2 -			
Echantillons																													
Analyses	98	99	42	50	119	120	119	84	63	69	61	62	78	20	21	25	3	4	5	19	104	108	97	106	153	115	123		
SiO <sub>2</sub> (%)	52,06	51,40	55,54	56,25	55,83	52,97	55,83	54,62	55,42	55,42	55,23	55,30	54,91	53,16	53,31	53,88	57,71	57,49	57,03	56,58	54,21	55,02	54,40	54,35	54,89	55,54	54,77		
TiO <sub>2</sub>	0,06	0,09	0,03	0,01	0,07	0,23	0,07	0,06	0,07	-	-	0,03	0,08	0,20	-	0,03	0,08	0,06	0,06	0,09	0,07	0,04	0,04	-	0,06	0,10	-		
Al <sub>2</sub> O <sub>3</sub>	3,93	3,65	2,21	2,18	3,27	3,22	3,27	3,46	1,99	1,91	3,40	3,72	3,87	4,15	3,33	3,04	1,45	1,20	1,54	1,44	3,35	2,66	3,53	3,44	1,67	1,98	3,43	14,75	15,48
FeOt	11,69	12,09	11,82	11,55	11,63	3,51	11,63	11,46	12,70	13,14	12,02	11,73	12,00	17,27	17,24	17,28	6,76	6,88	7,11	11,93	11,47	11,73	13,20	14,75	15,48	15,33	14,71	14,93	14,71
Fe <sub>2</sub> O <sub>3</sub>	0,93	2,10	-	0,86	0,60	0,86	-	0,03	2,33	0,62	0,60	-	-	-	-	-	-	-	-	-	-	-	2,20	0,01	1,53	1,98	-		
FeO	10,85	10,20	11,82	11,55	10,86	2,97	10,86	11,46	12,70	13,11	9,92	10,53	11,44	16,73	17,24	17,28	6,76	6,88	7,11	11,93	9,49	9,72	13,19	13,60	14,93	14,71	14,71		
Cr <sub>2</sub> O <sub>3</sub>	-	0,05	0,17	0,20	0,14	0,24	0,14	-	0,15	0,10	0,07	0,03	0,11	0,15	0,19	0,15	0,22	0,16	0,26	0,15	0,13	0,09	0,64	0,23	0,29	0,03	-		
MnO	0,29	0,34	0,26	0,29	0,21	0,09	0,21	0,23	0,24	0,35	0,29	0,19	0,31	0,32	0,34	0,32	0,23	0,17	0,22	0,21	0,26	0,46	0,28	0,17	0,31	0,27	0,30	-	
MgO	28,39	28,26	29,52	29,61	31,04	16,63	31,04	28,97	28,53	29,24	30,74	30,75	3- 25,81	25,33	25,61	33,68	34,41	33,76	30,19	29,42	30,89	28,65	28,82	28,47	27,87	-	-	-	
CaO	0,43	0,35	0,45	0,41	0,33	23,69	0,33	0,56	0,44	0,53	0,37	0,48	0,39	0,44	0,41-	0,53	0,38	0,19	0,36	0,50	2,03	0,42	0,42	0,32	0,37	0,35	-		
Na <sub>2</sub> O	-	0,04	0,07	-	-	0,09	-	0,02	-	0,01	-	0,02	-	0,01	-	-	0,01	-	0,03	-	0,01	-	-	-	0,01	0,07	-		
K <sub>2</sub> O	-	-	-	-	-	-	-	-	-	-	-	-	-	-	-	-	-	-	-	-	-	-	-	-	-	-	-		
NiO	-	-	-	-	-	-	-	-	-	-	-	-	-	-	-	-	-	-	-	-	-	-	-	-	-	-	-		
Total	96,85	96,27	100,07	100,50	102,52	100,67	102,52	99,36	99,56	100,69	102,31	102,23	101,67	101,50	100,10	100,80	100,50	100,30	101,10	100,90	101,30	101,10	101,92	101,70	102,30	101,50	-		
Si	1,90	1,89	1,96	1,97	1,92	1,92	1,94	1,97	1,96	1,90	1,91	1,91	1,90	1,93	1,94	1,98	1,97	1,97	1,98	1,97	1,90	1,91	1,92	1,91	1,94	1,95	1,93	-	
Al <sup>14</sup>	0,10	0,11	0,04	0,03	0,08	0,08	0,08	0,06	0,03	0,04	0,10	0,09	0,10	0,07	0,06	0,02	0,03	0,02	0,10	0,09	0,08	0,09	0,06	0,05	0,07	-			
Al <sup>16</sup>	0,07	0,05	0,05	0,06	0,05	0,05	0,05	0,08	0,06	0,04	0,04	0,06	0,07	0,07	0,07	0,04	0,02	0,03	0,04	0,04	0,02	0,06	0,05	0,03	0,07	-			
Fe <sup>3+</sup>	0,03	0,06	-	0,02	0,02	0,02	-	0,06	0,03	0,02	0,02	-	-	-	-	-	0,06	0,06	-	0,06	0,06	-	0,04	0,05	0,01	-			
Fe <sup>2+</sup>	0,33	0,31	0,35	0,34	0,31	0,09	0,34	0,38	0,39	0,29	0,30	0,33	0,50	0,52	0,52	0,19	0,20	0,21	0,35	0,28	0,39	0,39	0,40	0,44	0,43	-			
Cr	-	-	0,01	0,01	-	0,01	-	0,01	0,01	0,01	0,01	0,01	0,01	0,01	0,01	0,01	0,01	0,01	-	-	0,02	0,01	0,01	0,01	0,01	0,01	-		
Mg	1,55	1,55	1,55	1,55	1,59	0,90	1,59	1,53	1,51	1,54	1,58	1,58	1,55	1,37	1,37	1,72	1,76	1,74	1,57	1,54	1,60	1,50	1,49	1,51	1,49	1,46	-		
Mn	0,01	0,01	0,01	0,01	0,01	-	0,01	0,01	0,01	0,01	0,01	0,01	0,01	0,01	0,01	0,01	0,01	0,01	0,01	0,01	0,01	0,01	0,01	0,01	0,01	0,01	-		
Ti	-	-	-	-	-	0,01	-	-	-	-	-	-	-	-	-	-	-	-	-	-	-	-	-	-	-	-			
Ca	0,02	0,01	0,02	0,01	0,02	0,01	0,02	0,02	0,02	0,01	0,02	0,02	0,02	0,01	0,02	0,02	0,01	0,01	0,02	0,08	0,02	0,02	0,02	0,01	0,01	0,01	-		
Na	-	-	-	-	-	0,01	-	-	-	-	-	-	-	-	-	-	-	-	-	-	-	-	-	-	-	-			
K	-	-	-	-	-	-	-	-	-	-	-	-	-	-	-	-	-	-	-	-	-	-	-	-	-	-			
Ni	-	-	-	-	-	-	-	-	-	-	-	-	-	-	-	-	-	-	-	-	-	-	-	-	-	-			
Total	4,00	4,00	3,99	3,98	4,00	4,00	3,99	3,98	4,00	4,00	4,00	4,00	3,99	3,99	4,00	4,00	4,00	4,00	4,00	4,00	4,00	4,00	4,00	4,00	4,00	-			
Mg#	0,82	0,83	0,82	0,84	0,91	0,84	0,82	0,80	0,80	0,85	0,84	0,82	0,73	0,72	0,73	0,90	0,90	0,89	0,82	0,85	0,85	0,79	0,79	0,77	0,77	-			
Mg %	80,15	79,64	80,61	81,01	81,85	46,61	81,85	80,62	79,01	78,62	81,08	81,39	80,67	71,70	71,37	71,40	88,92	89,37	88,53	80,81	78,54	81,22	78,46	76,71	76,13	75,94	76,26	-	
Fe + Mn %	18,97	19,66	18,51	18,18	17,52	5,66	17,52	18,26	20,11	20,35	18,22	17,70	18,57	27,42	27,80	27,53	10,36	10,28	10,79	18,23	17,57	17,98	20,71	22,48	23,26	23,35	23,05	-	
Ca %	0,87	0,71	0,88	0,81	0,63	47,72	0,63	1,12	0,88	1,02	0,70	0,91	0,75	0,88	0,83	1,06	0,72	0,35	0,68	0,96	3,89	0,79	0,83	0,81	0,61	0,71	0,69	-	
En %	76,15	78,34	76,60	76,58	78,93	45,27	78,93	74,75	74,95	76,41	80,66	78,81	76,37	67,28	66,85	67,39	85,84	87,43	86,44	78,31	79,31	82,22	74,10	75,19	78,19	74,47	71,24	-	
Fs %	16,77	16,40	17,59	17,18	15,80	4,67	15,80	16,93	19,08	19,74	15,03	15,42	16,79	24,94	26,03	25,99	10,00	10,05	10,53	17,67	14,75	15,21	19,55	20,00	21,18	22,31	21,53	-	
Jd %	-	0,14	-	-	-	-	-	-	-	-	-	-	-	-	-	-	-	-	-	-	-	-	-	-	-	-			
Ca-Tsch %	6,91	4,73	5,26	6,21	5,10	5,52	5,10	8,17	5,65	3,77	4,23	5,70	6,64	7,12	7,12	6,55	3,89	2,16	2,87	3,58	3,83	2,39	6,22	4,80	0,47	2,89	6,76	-	
Ti-Tsch %	0,16	0,25	0,08	0,03	0,18	0,63	0,18	0,16	0,19	-	0,08	0,21	0,53	-	0,08	0,21	0,15	0,16	0,24	0,19	0,11	0,10	-	0,16	0,26	-	-		
Es %	-	-	-	-	-	-	-	-	-	-	-	-	-	-	-	-	-	-	-	-	-	-	-	-	-	-			
Ko%	-	-	-	-	-	-	-	-	-	-	-	-	-	-	-	-	-	-	-	-	-	-	-	-	-	-			
0,15	0,47	-	-	-	-	-	-	-	-	-	-	-	-	-	-	-	-	-	-	-	-	-	-	-	-	-			
0,15	0,47	-	-	-	-	-	-	-	-	-	-	-	-	-	-	-	-	-	-	-	-	-	-	-	-	-			
0,15	0,47	-	-	-	-	-	-	-	-	-	-	-	-	-	-	-	-	-	-	-	-	-	-	-	-	-			
0,15	0,47	-	-	-	-	-	-	-	-	-	-	-	-	-	-	-	-	-	-	-	-	-	-	-	-	-			
0,15	0,47	-	-	-</																									

Tableau V: Analyses représentatives des clinopyroxènes de la zone Extension 1

Site Roches	Extension 1 Chromite	Lherzolite	Webstérite à olivine												Gabbro-norite						Webstérite						
			SM24-1-102				SM24-1-83				SM24-1-67,8				SM24-1-118,4				SM24-1-251			SM24-1-97			SM24-1-156		
Echantillons	Analyses	477	478	413	423	428	433	436	86	64	402	403	407	408	225	236	237	239	298	319	359	361	1	2	58	59	51
SiO <sub>2</sub> (%)	53,29	56,43	50,67	50,25	51,80	51,16	51,86	52,10	53,89	51,02	51,60	52,46	51,86	50,18	49,29	50,00	49,73	51,67	51,58	51,14	51,12	50,84	50,85	50,56	50,95		
TiO <sub>2</sub>	0,21	0,19	0,41	0,60	0,70	0,58	0,45	0,04	0,07	0,39	0,24	0,49	0,22	0,19	0,14	0,36	0,31	0,29	0,34	0,48	0,47	0,46	0,48	0,10			
Al <sub>2</sub> O <sub>3</sub>	2,72	1,89	4,34	3,69	3,37	3,26	2,99	2,32	1,86	4,30	4,09	4,43	4,62	4,54	4,49	3,82	3,94	4,52	4,10	7,73	7,73	7,73	7,73	5,05			
FeOt	2,40	2,46	4,30	3,56	3,03	4,02	3,51	4,91	3,41	4,48	4,19	3,70	4,01	6,10	5,46	5,72	6,21	4,18	4,97	4,65	4,72	4,67	4,64	4,61	4,40		
Fe <sub>2</sub> O <sub>3</sub>	0,22	-	3,88	3,21	1,19	2,81	2,28	1,61	0,55	3,27	2,29	1,75	2,42	3,87	2,00	3,12	1,20	2,27	2,84	2,60	0,88	1,33	1,56	1,68			
FeO	2,20	2,46	0,81	0,67	1,95	1,49	1,46	3,46	2,92	1,54	2,13	1,82	2,43	3,92	1,98	3,40	3,10	2,92	2,10	2,38	3,87	3,82	3,41	3,21	2,89		
Cr <sub>2</sub> O <sub>3</sub>	0,37	0,43	0,24	0,31	0,15	0,24	0,16	0,27	0,20	0,36	0,28	0,25	0,16	0,19	0,15	0,06	0,05	0,42	0,31	0,89	0,89	0,88	0,91	0,59			
MnO	0,06	0,05	0,06	0,08	0,10	0,11	0,13	0,20	0,23	0,08	0,13	0,13	0,05	0,14	0,15	0,12	0,17	0,10	0,12	0,11	0,08	0,12	0,12	0,13	0,13		
MgO	18,58	22,91	15,53	15,96	15,98	15,75	16,00	16,48	16,20	15,85	15,60	16,24	15,87	12,47	12,75	12,66	13,18	15,71	15,29	15,10	17,26	17,31	17,42	14,43			
CaO	21,45	13,29	23,82	24,25	24,81	24,34	21,93	24,58	23,74	24,37	23,10	23,66	24,03	23,74	23,21	24,02	24,11	24,04	24,10	17,31	17,37	17,24	23,14				
Na <sub>2</sub> O	0,25	0,27	0,41	0,07	0,07	0,15	0,07	0,24	0,20	0,34	0,16	0,42	0,73	0,76	0,62	0,56	0,03	0,12	0,33	0,25	0,89	0,92	0,92	0,56			
K <sub>2</sub> O	0,01	0,02	0,03	-	0,01	0,05	0,01	-	0,02	0,01	0,04	0,01	0,01	0,02	0,03	0,02	0,01	-	-	-	-	-	-	-			
NiO	nd	nd	nd	nd	nd	nd	nd	nd	nd	nd	nd	nd	nd	nd	nd	nd	nd	nd	nd	nd	nd	nd	nd	nd			
Total	99,36	97,94	100,20	99,09	100,14	99,94	100,24	98,65	100,70	100,91	100,60	101,20	100,73	98,53	97,79	97,91	97,50	100,20	100,63	100,39	100,30	100,22	100,10	100,10	99,52		
Si	1,94	2,02	1,85	1,86	1,89	1,88	1,93	1,96	1,85	1,88	1,88	1,86	1,89	1,89	1,88	1,86	1,87	1,83	1,83	1,83	1,82	1,88	1,88	1,88			
Al <sup>4</sup>	0,06	-	0,15	0,14	0,11	0,12	0,11	0,07	0,04	0,15	0,12	0,12	0,14	0,11	0,11	0,12	0,14	0,13	0,17	0,17	0,17	0,18	0,12				
Al <sup>6</sup>	0,05	0,08	0,04	0,02	0,04	0,02	0,03	0,04	0,05	0,04	0,07	0,09	0,06	0,06	0,05	0,06	0,05	0,06	0,16	0,16	0,15	0,15	0,10				
Fe <sup>3+</sup>	0,01	-	0,11	0,09	0,03	0,08	0,06	0,05	0,02	0,09	0,06	0,05	0,07	0,11	0,06	0,09	0,06	0,08	0,07	0,02	0,03	0,04	0,05				
Fe <sup>2+</sup>	0,07	0,07	0,02	0,02	0,06	0,05	0,04	0,09	0,05	0,07	0,06	0,07	0,12	0,06	0,11	0,09	0,06	0,07	0,12	0,10	0,09	0,09	0,09				
Cr	0,01	0,01	0,01	0,01	0,01	0,01	0,01	0,01	0,01	0,01	0,01	0,01	0,01	0,01	0,01	0,01	0,01	0,01	0,03	0,03	0,03	0,02					
Mg	1,01	1,22	0,85	0,88	0,87	0,86	0,91	0,88	0,86	0,85	0,87	0,86	0,70	0,72	0,71	0,75	0,86	0,83	0,82	0,93	0,93	0,94	0,79				
Mn	-	-	-	-	-	-	0,01	0,01	-	-	0,01	-	-	0,01	-	-	-	-	-	-	-	-	-				
Ti	0,01	-	0,01	0,02	0,02	0,02	0,01	-	0,01	0,01	0,01	0,01	0,01	0,01	0,01	0,01	0,01	0,01	0,01	0,01	0,01	0,01	0,01				
Ca	0,84	0,51	0,93	0,96	0,97	0,96	0,87	0,96	0,93	0,93	0,94	0,90	0,95	0,97	0,94	0,94	0,94	0,94	0,94	0,94	0,94	0,94	0,91				
Na	0,02	0,01	0,03	0,01	0,01	0,01	0,02	0,01	0,01	0,02	0,01	0,03	0,05	0,06	0,05	0,04	0,01	0,02	0,06	0,06	0,06	0,06	0,04				
K	-	-	-	-	-	-	-	-	-	-	-	-	-	-	-	-	-	-	-	-	-	-	-				
Ni	-	-	-	-	-	-	-	-	-	-	-	-	-	-	-	-	-	-	-	-	-	-	-				
Total	4,00	3,94	4,00	4,00	4,00	4,00	4,00	4,00	4,00	4,00	4,00	4,00	4,00	4,00	4,00	4,00	4,00	4,00	4,00	4,00	4,00	4,00	4,00				
Mg #	0,94	0,94	0,97	0,98	0,94	0,95	0,95	0,89	0,91	0,95	0,93	0,94	0,92	0,85	0,92	0,85	0,87	0,90	0,90	0,93	0,92	0,89	0,89	0,90	0,91	0,90	
Mg %	52,52	67,64	44,25	45,04	44,93	44,58	46,94	45,11	44,56	44,46	45,23	45,67	37,81	38,44	38,36	39,41	44,41	43,10	43,08	43,00	53,29	53,51	53,36	53,64	42,95		
Fet + Mn %	3,90	4,16	6,97	5,76	4,94	6,52	5,69	8,16	5,69	7,19	6,91	5,99	6,56	10,62	9,49	9,93	10,71	6,79	8,05	7,62	7,67	8,30	8,25	8,16	8,19	7,56	
Ca %	43,58	28,20	48,78	49,19	50,13	49,19	49,73	44,90	49,20	48,25	48,63	48,78	47,78	51,57	52,07	51,71	49,88	48,80	48,85	49,30	49,33	38,42	38,48	38,16	49,48		
En %	50,42	63,57	44,72	46,11	44,20	44,88	45,00	46,61	44,16	44,94	43,69	45,04	43,98	36,17	37,99	36,67	39,05	43,52	43,02	42,62	42,73	46,94	47,10	47,48	47,87	40,57	
Fs %	3,45	3,91	1,40	1,22	3,19	2,56	2,52	5,80	4,81	2,57	3,55	3,03	3,86	6,61	3,56	6,57	5,94	4,98	4,81	3,49	3,90	6,09	6,03	5,42	5,15	4,76	
Wo %	39,31	22,43	47,78	48,57	46,53	48,24	48,41	43,36	46,74	46,31	45,30	46,39	42,88	46,95	50,37	46,77	48,15	44,38	46,20	46,07	46,51	27,01	26,91	27,74	27,70	42,89	
Jd %	0,70	0,68	2,34	-	0,06	0,39	0,03	0,99	0,86	0,39	1,65	0,42	2,20	5,02	5,29	4,18	3,84	0,04	0,73	1,17	0,91	3,73	3,90	3,92	2,34		
Ca-Tsch %	4,49	7,61	1,84	3,62	1,55	2,29	2,32	2,65	3,59	3,87	3,71	4,89	4,12	1,52	4,77	2,13	5,90	4,22	4,57	4,04	12,34	11,71	11,39	7,40			
Ti-Tsch %	0,58	0,53	1,19	1,75	1,95	1,67	1,28	0,11	0,20	1,12	1,10	0,67	1,37	0,64	0,66	0,56	0,42	1,01	0,88	0,83	0,97	1,32	1,28	1,32	0,30		
Es %	-	-	-	-	-	-	-	-	-	-	-	-	-	-	-	-	-	-	-	-	-	-	-	-	-		
Ko%	1,07	1,27	0,73	0,53	0,44	0,73	0,48	0,80	0,58	1,08	0,83	0,74	0,82	0,49	0,60	0,49	0,47	0,18	0,15	1,26	0,93	2,56	2,58	2,56	2,66	1,75	

\*Note : (1) nombre d'Oxygène = 6 O ; (2); nd = non déterminé ; (3) : limite de détection

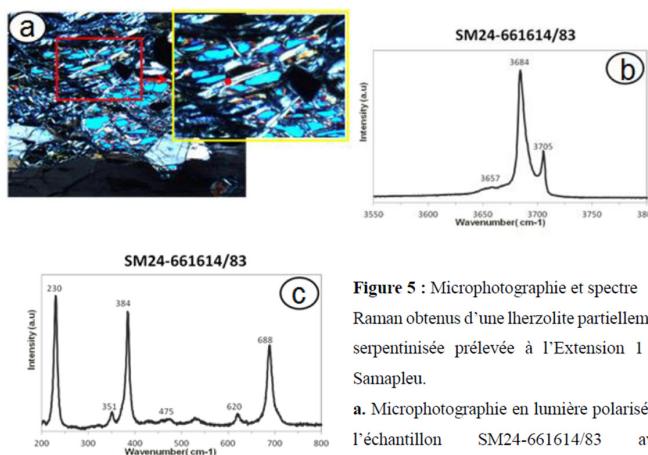
Tableau VI : Analyses représentatives des clinopyroxènes de la zone principale

Sites Roches	Zone principale	Webstérite à olivine			Harzburgite			Webstérite à plagioclase			Webstérite à plagioclase			Gabbro-norite	Norite	Chromitite										
		S06-154	S 1 2 - S06-83	S06-135	T2/27	1 0 2 b	120	66	87	63	64	67	77	26	98	109	110	118	104	103	156	116	8	9		
Echantillons																										
Analyses		95																								
SiO <sub>2</sub> (%)	48,63		52,91		54,11		50,45		52,39		52,87		52,77		52,97		51,10		52,52		52,46		52,61		52,90	
TiO <sub>2</sub>	0,36		0,32		0,18		0,24		0,31		0,25		0,26		0,22		0,08		0,36		0,22		0,23		0,19	
Al <sub>2</sub> O <sub>3</sub>	3,81		3,22		2,48		3,79		4,24		3,61		3,67		3,91		3,93		4,74		2,94		3,39		2,63	
FeOt	4,03		3,51		3,94		3,49		4,33		4,58		3,55		4,09		5,32		4,19		3,78		4,17		4,74	
Fe <sub>2</sub> O <sub>3</sub>	3,20		0,60		-		1,48		1,43		2,00		0,02		1,30		1,67		-		2,51		1,09		1,06	
FeO	1,15		2,97		3,94		2,16		2,78		3,53		2,92		3,82		4,19		1,52		3,19		4,74		4,34	
Cr <sub>2</sub> O <sub>3</sub>	0,01		0,24		0,13		0,01		0,16		0,10		0,11		0,31		0,92		0,09		0,19		0,21		0,37	
MnO	0,20		0,09		0,06		0,07		0,12		0,14		0,18		0,13		0,06		0,90		0,08		0,07		0,07	
MgO	14,81		16,63		16,05		15,32		15,59		16,20		16,70		15,94		14,79		14,54		16,66		16,30		15,55	
CaO	23,74		23,36		23,91		24,52		24,27		24,11		24,13		22,75		22,56		24,26		23,67		23,50		22,30	
Na <sub>2</sub> O	0,07		0,09		0,30		0,08		0,12		0,12		-		0,13		0,38		0,62		0,12		0,10		0,37	
K <sub>2</sub> O	-		-		-		-		-		-		-		0,01		0,01		-		0,02		-		-	
NiO	Total	95,66	100,70	100,61	97,36	101,78	102,14	101,40	101,70	98,73	101,40	100,60	100,70	100,00	100,40	101,20	98,80	101,70	99,52	99,74	-	-	-	-		
Si	1,86		1,91		1,96		1,89		1,88		1,89		1,90		1,90		1,90		1,90		1,92		1,93		1,91	
Al <sup>4</sup>	0,14		0,09		0,04		0,11		0,12		0,11		0,10		0,10		0,10		0,10		0,09		0,08		0,07	
Al <sup>6</sup>	0,03		0,05		0,07		0,06		0,06		0,05		0,06		0,07		0,07		0,10		0,03		0,05		0,09	
Fe <sup>3+</sup>	0,09		0,02		-		0,04		0,04		0,05		-		0,04		0,05		-		0,07		0,03		-	
Fe <sup>2+</sup>	0,04		0,09		0,12		0,07		0,09		0,08		0,11		0,09		0,12		0,13		0,05		0,10		0,14	
Cr	-		0,01		-		-		-		-		0,01		0,01		0,01		0,01		0,01		0,01		-	
Mg	0,84		0,90		0,87		0,86		0,84		0,86		0,90		0,85		0,82		0,78		0,90		0,88		0,84	
Mn	0,01		-		-		-		-		-		0,01		-		0,03		-		0,01		-		-	
Ti	0,01		0,01		-		0,01		0,01		0,01		0,01		-		0,01		0,01		0,01		0,02		0,01	
Ca	0,97		0,92		0,91		0,96		0,94		0,93		0,93		0,91		0,87		0,94		0,92		0,87		0,91	
Na	0,01		0,01		0,02		0,01		0,01		0,01		-		0,03		0,04		0,01		0,03		0,03		0,02	
K	-		-		-		-		-		-		-		-		-		-		-		-		-	
Ni	Total	4,00	4,00	3,99	4,00	4,00	4,01	4,00	4,00	4,00	4,00	4,00	4,00	4,00	4,00	4,00	4,00	4,00	3,99	4,00	4,00	3,99	4,00	3,99		
Mg #	0,96		0,91		0,88		0,93		0,90		0,91		0,87		0,86		0,95		0,90		0,90		0,85		0,86	
Mg %	43,25		46,61		45,75		44,40		43,66		44,64		46,23		44,71		43,29		43,25		45,94		45,66		46,20	
Fet + Mn%	6,93		5,66		6,40		5,79		6,99		7,30		5,79		6,64		8,84		8,51		5,97		6,68		6,57	
Ca %	49,82		47,72		47,86		49,81		49,35		48,06		47,97		48,65		47,86		48,23		48,09		47,66		47,20	
En %	44,25		45,26		43,55		43,72		42,62		44,43		44,73		43,62		41,93		39,29		46,56		44,71		45,60	
Fs %	2,27		4,67		6,09		3,57		4,85		4,50		5,58		4,68		6,17		7,73		2,51		5,03		7,53	
Wo %	49,04		43,27		42,85		45,98		44,68		45,45		43,12		44,15		43,60		39,03		47,41		43,78		44,50	
Ac %	-		-		-		-		-		-		-		-		-		-		-		-		-	
Jd %	0,51		-		1,74		0,56		0,39		0,57		-		0,84		1,87		1,72		0,61		0,16		0,10	
Ca-Tsch %	2,81		5,28		4,90		5,44		6,14		4,08		5,82		6,02		5,27		8,61		2,02		5,12		3,71	
Ti-Tsch %	1,09		0,88		0,49		0,69		0,86		0,69		0,70		0,61		0,23		0,98		0,64		0,53		0,22	
Es %	-		-		-		-		-		-		-		-		-		-		-		-		-	
Ko%	0,03		0,64		0,37		0,03		0,46		0,29		-		0,05		-		0,09		0,93		2,64		0,27	

\*Note : (1) nombre d'Oxygène = 6 O ; (2) ; nd = non déterminé ; (3) - : limite de détection

- Serpentine

Les espèces de serpentine de Samapleu ont un Mg# variant entre 0,867 et 0,987. La plupart des cristaux de serpentine analysés sont magnésiens mais d'autres le sont moins avec des valeurs en FeO total atteignant parfois 9 % (Tab. VII). Les spectres obtenus à la spectrométrie Raman sur des échantillons de serpentine provenant de la lherzolite des zones E1 et SM indiquent exclusivement la lizardite. Ce dernier est reconnaissable notamment sur les hautes fréquences par les deux raies caractéristiques à  $3684 \text{ cm}^{-1}$  et  $3705 \text{ cm}^{-1}$  qui correspondent aux liaisons OH, ce qui est confirmée par les raies de basses fréquences (Fig. 5).



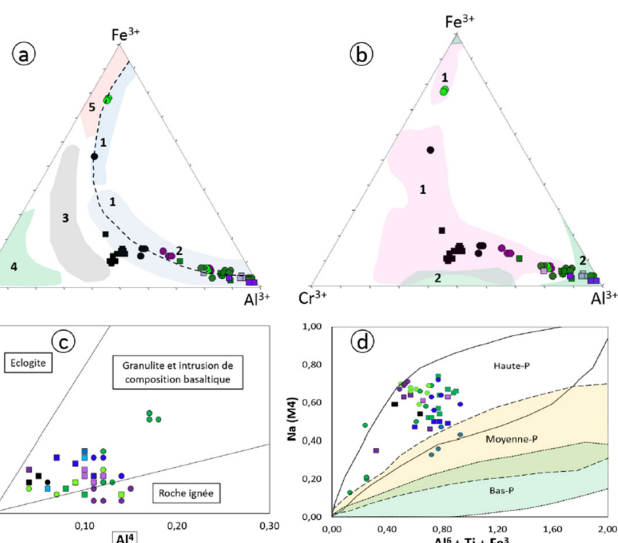
**Figure 5 :** Microphotographie et spectre Raman obtenus d'une lherzolite partiellement serpentinisée prélevée à l'Extension 1 de Samapleu.  
a. Microphotographie en lumière polarisé de l'échantillon SM24-661614/83 avec indication de la zone d'analyse (point rouge) ; b. Spectre Raman pour les hautes fréquences de la serpentine de Samapleu ; c. Spectre Raman pour les basses fréquences de la serpentine de Samapleu.

**Figure 5 : Microphotographie et spectre Raman obtenus d'une lherzolite partiellement serpentinisée prélevée à l'Extension 1 de Samapleu. a. Microphotographie en lumière polarisé de l'échantillon SM24-661614/83 avec indication de la zone d'analyse (point rouge) ; b. Spectre Raman pour les hautes fréquences de la serpentine de Samapleu ; c. Spectre Raman pour les basses fréquences de la serpentine de Samapleu.**

- Spinelles

Les spinelles de l'intrusion de Samapleu (E1, SM) se répartissent en trois grands groupes de spinelles (spinelle alumineux, spinelle chromifère et spinelle ferrifère) impliquant une large variation du Mg# (Tab. X et XI). Suivant la classification de Deer et al. (1992), ces spinelles sont composés majoritairement de spinelle (ss), de chromite, de magnétite, d'hercynite. En faible proportion on trouve la magnésio-chromite, la magnesioferrite et accessoirement la gahnite (inférieur à 2 %). La teneur en  $\text{Cr}_2\text{O}_3$  dans les chromitites varie de 20 à 39 % et celle en titane ( $\text{TiO}_2$ ) est inférieure à 2,40 %.

Selon les diagrammes triangulaires de Suita et Strieder (1996), les spinelles des zones E1 et SM sont rigoureusement alignés sur la ligne marqueuse du métamorphisme de haut grade (faciès amphibolite supérieur à granulite) à l'exception de la chromitite de la zone SM (Fig. 6a). Dans ce même diagramme, pour Barnes et Roeder (2001), les spinelles des zones SM et E1 correspondraient à des spinelles provenant d'une intrusion de type stratiforme et métamorphisées dans un faciès de haute grade (Fig. 6b).



**Figure 6 :** Diagrammes de caractérisation des conditions de formation des minéraux de l'intrusion de Samapleu. a. Spinelles dans le diagramme  $\text{Al}^{3+} - \text{Cr}^{3+} - \text{Fe}^{3+}$  de Suita et Strieder (1996) ; b. Spinelles dans le diagramme  $\text{Al}^{3+} - \text{Cr}^{3+} - \text{Fe}^{3+}$  de Barnes et Roeder (2001) ; c. CPX dans le diagramme  $\text{Al}^6 - \text{Al}^4$  de Aoki et Kushiro (1968) ; d. Amphiboles dans le diagramme  $\text{Na} (\text{M4})$  versus  $\text{Al}^6 + \text{Ti} + \text{Fe}^{3+}$  de Zhao et Zhou (2006).

Tableau VII: Analyses représentatives des plagioclases et de la serpentine des zones Extension 1 et Principale

Plagioclase Site Roches	Zone principale										Serpentine										
	Extension 1		Webstérite à plagioclase		Zone principale		Norite		Gabbro-norite		Extension 1		Site Roch		Webstérite à olivine		Lherzolite				
Echantillons	SM-24-1-266	S M - 2-1- 2.5.1	S2A-2	S3A-40	S12-62	S2A- 1.3.3	S 12 - 1.0.2	S12-60	S 12 - 1.1.7	S2A-79	S18-90	S01-45	Ech	SM1-57,8	SM24-1-118,4	SM24- 83	SM1-182				
Analyses	263	268	281	227	235	24	33	43	48	105	151	117	119	127	141	124	133	131	137	138	
SiO <sub>2</sub> (%)	44,09	43,92	44,33	46,48	45,88	44,48	46,11	46,37	44,88	45,49	45,82	47,48	49,33	46,75	53,42	46,95	59,49	59,17	57,35	57,82	
TiO <sub>2</sub>	-	-	0,02	0,03	0,02	-	-	-	-	-	-	-	-	-	-	-	-	-	-	TiO <sub>2</sub>	
Al <sub>2</sub> O <sub>3</sub>	35,29	35,75	35,91	33,35	33,24	35,77	36,01	35,17	35,89	37,31	35,01	36,82	33,10	34,93	30,62	36,67	26,53	28,21	29,62	29,08	
Cr <sub>2</sub> O <sub>3</sub>	0,01	-	-	-	-	-	-	-	-	-	-	-	-	-	-	-	-	-	-	Cr <sub>2</sub> O <sub>3</sub>	
Fe <sub>2</sub> O <sub>3</sub>	0,32	0,21	0,06	-	-	0,23	0,11	0,08	0,50	-	0,03	0,01	0,58	0,61	0,04	0,06	-	0,06	0,01	0,20	FeOt
MnO	-	0,02	0,01	0,01	-	-	-	-	-	-	-	-	-	-	-	-	-	-	-	MnO	
MgO	0,32	0,01	-	0,02	-	-	-	-	-	-	-	-	-	-	-	-	-	-	-	MgO	
CaO	18,75	19,43	19,36	17,70	17,88	18,59	18,94	18,05	18,86	18,09	17,68	18,13	15,34	17,05	12,53	17,59	7,72	8,43	9,62	9,35	
Na <sub>2</sub> O	0,92	0,67	0,83	2,06	1,69	0,75	0,98	1,28	0,62	0,74	1,06	1,37	2,78	1,68	4,32	1,46	5,78	6,41	5,64	5,75	
K <sub>2</sub> O	0,03	0,01	0,03	0,03	0,01	0,01	-	-	0,03	-	0,01	0,06	-	0,12	-	1,68	0,21	0,18	0,31	K <sub>2</sub> O	
ZnO	nd	nd	nd	nd	nd	nd	nd	nd	nd	nd	nd	nd	nd	nd	nd	nd	nd	nd	nd	ZnO	
NiO	nd	nd	nd	nd	nd	nd	nd	nd	nd	nd	nd	nd	nd	nd	nd	nd	nd	nd	nd	NiO	
Total	99,70	100,00	100,50	99,70	98,80	99,80	102,20	101,00	100,80	101,70	99,60	103,80	101,20	101,00	101,10	102,70	101,20	102,50	102,40	Total	
Si	2,05	2,03	2,04	2,15	2,14	2,06	2,08	2,11	2,06	2,06	2,11	2,10	2,23	2,13	2,39	2,10	2,63	2,58	2,51	2,53	Si
Ti	-	-	-	-	-	-	-	-	-	-	-	-	-	-	-	-	-	-	-	Ti	
Al	1,93	1,95	1,95	1,82	1,83	1,95	1,92	1,89	1,94	1,99	1,90	1,92	1,76	1,87	1,62	1,93	1,58	1,45	1,53	1,50	Al
Cr	-	-	-	-	-	-	-	-	-	-	-	-	-	-	-	-	-	-	-	Cr	
Fe <sup>3+</sup>	0,01	0,01	-	-	-	0,01	-	-	0,02	-	-	-	-	-	-	-	-	-	-	Fe	
Mn	-	-	-	-	-	-	-	-	-	-	-	-	-	-	-	-	-	-	-	Mn	
Mg	0,02	-	-	-	-	-	-	-	-	-	-	-	-	-	-	-	-	-	-	Mg	
Ca	0,93	0,96	0,96	0,88	0,89	0,92	0,92	0,88	0,93	0,88	0,87	0,86	0,74	0,83	0,60	0,84	0,37	0,39	0,45	0,44	Ca
Na	0,08	0,06	0,07	0,19	0,15	0,07	0,09	0,11	0,06	0,06	0,09	0,12	0,24	0,15	0,37	0,13	0,50	0,54	0,48	0,49	Na
K	-	-	-	-	-	-	-	-	-	-	-	-	-	-	-	-	-	-	-	K	
Zn	nd	nd	nd	nd	nd	nd	nd	nd	nd	nd	nd	nd	nd	nd	nd	nd	nd	nd	nd	Zn	
Ni	nd	nd	nd	nd	nd	nd	nd	nd	nd	nd	nd	nd	nd	nd	nd	nd	nd	nd	nd	Ni	
Total	5,03	5,02	5,03	5,02	5,00	5,00	5,00	5,00	4,98	4,98	5,00	5,01	4,99	5,00	4,97	4,97	4,97	4,98	5,01	5,01	Total
An	91,70	94,00	92,70	82,50	85,20	93,10	91,40	88,60	94,40	92,90	90,20	87,90	75,00	84,90	61,10	86,90	38,30	41,60	48,00	46,50	Mg#
Ab	8,10	5,90	7,20	17,40	14,60	6,80	8,60	11,40	5,60	6,90	9,80	12,00	24,60	15,10	38,20	13,10	51,80	57,20	50,90	51,70	Ksp
	0,20	0,20	0,10	0,20	0,10	0,10	-	0,20	-	0,10	0,30	-	0,70	-	0,90	1,20	1,10	1,80			

\*Note : (1) nombre d'Oxygène = 8 O pour les plagioclases et la serpentine ; (2) - : limite de détection

Tableau VIII : Analyses représentatives des amphiboles de la zone Extension 1

Site	Extension 1	Webstérite à olivine	Webstérite												Gabbro-norite				Webstérite à plagioclase														
			SM1-182	Analyses	3	12	34	22	404	409	415	77	78	50	52	350	351	85	93	80	3	6	21	40	10	223	233	241	252	269	270	279	287
Roches	Herzolite																																
Echantillons																																	
SiO <sub>2</sub>		41,60	42,73	41,60	42,42	43,30	43,38	43,96	43,58	43,54	41,92	41,60	43,40	43,48	43,71	41,98	52,67	53,20	52,50	53,02	42,14	42,73	42,23	42,74	42,00	41,63	43,21	42,89	42,81	42,46	43,41		
TiO <sub>2</sub>		1,05	1,02	1,16	1,15	1,04	1,00	0,88	0,44	0,36	0,67	0,60	0,83	0,86	0,64	0,66	0,08	0,07	0,12	0,06	0,55	0,58	0,70	0,66	0,69	0,70	1,11	1,22	1,27	1,26	1,16		
Al <sub>2</sub> O <sub>3</sub>		13,28	12,96	13,00	12,95	13,90	12,89	13,47	13,82	12,98	13,64	13,50	13,20	13,73	12,97	11,99	3,98	4,84	5,24	5,03	14,70	14,75	12,52	13,69	13,01	13,37	13,52	13,76	13,70	13,94	13,74		
Cr <sub>2</sub> O <sub>3</sub>		0,93	0,97	0,95	0,93	0,41	0,50	0,27	0,73	0,61	0,47	0,50	0,82	0,89	0,66	0,89	0,22	0,49	0,71	0,68	1,21	0,98	0,20	0,21	0,26	0,27	1,41	1,50	1,37	1,57	1,37		
FeO		4,00	4,89	3,58	5,56	5,47	5,33	6,13	4,40	4,58	3,97	3,97	5,88	5,26	4,24	3,19	2,48	3,88	3,38	3,82	4,77	3,67	9,29	9,07	9,44	8,94	4,50	5,33	4,84	5,67	5,75		
Fe <sub>2</sub> O <sub>3</sub>		2,87	1,57	3,06	1,41	1,69	1,84	1,04	2,31	2,16	3,38	4,24	1,34	1,87	3,20	8,46	2,33	0,27	0,79	0,41	2,23	3,17	0,38	0,35	-	-	1,44	0,47	1,41	1,06	-		
Feot		6,58	6,30	6,33	6,83	6,99	6,99	7,07	6,48	6,53	7,01	7,78	7,08	6,94	7,12	10,81	4,58	4,13	4,09	4,19	6,77	6,52	9,64	9,39	9,44	8,94	5,80	6,35	6,11	6,62	5,75		
MnO		0,11	0,08	0,09	0,08	0,05	0,10	0,08	0,07	0,14	0,10	0,06	0,10	0,08	0,08	0,11	0,08	0,08	0,07	0,09	0,07	0,08	0,06	0,07	0,14	0,12	0,05	0,08	0,03	0,08	0,05		
MgO		16,30	16,65	16,50	16,35	16,30	17,30	16,28	16,82	16,71	16,07	16,10	16,00	15,98	16,25	15,93	20,76	20,90	20,50	20,90	15,81	16,11	13,03	13,55	12,91	12,29	16,18	16,02	16,11	15,39	16,05		
CaO		12,65	12,70	12,60	12,47	12,40	10,85	12,49	12,70	12,52	12,66	12,50	12,40	12,56	12,44	11,92	12,64	12,30	12,60	12,12	12,18	12,77	12,70	12,69	12,35	12,44	12,48	12,53	12,77	12,19			
Na <sub>2</sub> O		2,43	2,50	2,35	2,52	2,33	2,10	2,47	2,41	2,35	2,41	2,45	2,33	2,07	1,78	1,70	0,46	0,78	0,75	0,76	2,45	2,02	2,13	2,24	1,96	1,19	1,69	1,30	1,54	1,39			
K <sub>2</sub> O		0,72	0,73	0,72	0,72	0,42	0,50	0,32	0,63	0,59	0,44	0,42	0,44	0,44	0,30	0,30	0,06	-	-	-	0,51	0,50	0,50	0,49	1,42	1,67	1,68	1,52	1,66				
Total		95,71	96,77	95,50	96,56	97,00	95,61	97,29	97,70	96,37	95,46	95,50	96,60	97,03	95,98	96,29	95,54	96,80	96,60	96,85	95,73	96,00	93,79	95,75	94,09	92,12	96,33	97,66	96,91	97,15	96,77		
<b>Site T</b>																																	
Si		6,10	6,20	6,11	6,19	6,23	6,31	6,32	6,23	6,31	6,14	6,11	6,29	6,26	6,33	6,11	7,45	7,44	7,37	7,41	6,14	6,17	6,40	6,33	6,37	6,42	6,27	6,19	6,20	6,16	6,30		
Al <sup>4+</sup>		1,90	1,80	1,89	1,81	1,77	1,69	1,68	1,77	1,69	1,86	1,89	1,71	1,74	1,67	1,89	0,55	0,56	0,63	0,59	1,86	1,83	1,60	1,67	1,63	1,58	1,73	1,81	1,80	1,84	1,70		
Fe <sup>3+</sup>		-	-	-	-	-	-	-	-	-	-	-	-	-	-	-	-	-	-	-	-	-	-	-	-	-	-	-	-				
Total		8,00	8,00	8,00	8,00	8,00	8,00	8,00	8,00	8,00	8,00	8,00	8,00	8,00	8,00	8,00	8,00	8,00	8,00	8,00	8,00	8,00	8,00	8,00	8,00	8,00	8,00	8,00	8,00				
<b>Site C</b>																																	
Al <sup>6</sup>		0,40	0,42	0,36	0,42	0,58	0,52	0,60	0,56	0,53	0,50	0,43	0,55	0,59	0,54	0,17	0,12	0,24	0,24	0,24	0,24	0,66	0,68	0,64	0,72	0,69	0,85	0,58	0,54	0,55	0,65		
Ti		0,12	0,11	0,13	0,13	0,11	0,11	0,10	0,05	0,04	0,07	0,07	0,09	0,09	0,07	0,07	0,01	0,01	0,01	0,01	0,06	0,08	0,07	0,08	0,08	0,12	0,13	0,14	0,13	0,16			
Cr		0,11	0,11	0,11	0,11	0,11	0,05	0,06	0,03	0,08	0,07	0,05	0,06	0,09	0,10	0,08	0,10	0,02	0,05	0,08	0,07	0,14	0,11	0,02	0,02	0,03	0,16	0,17	0,16	0,18	0,16		
Fe <sup>3+</sup>		0,32	0,17	0,34	0,16	0,18	0,20	0,11	0,25	0,24	0,37	0,47	0,15	0,20	0,35	0,93	0,29	0,45	0,40	0,45	0,24	0,34	0,04	-	-	0,16	0,05	0,15	0,12	-			
Fe <sup>2+</sup>		0,49	0,59	0,44	0,68	0,66	0,65	0,74	0,53	0,56	0,49	0,49	0,71	0,63	0,51	0,39	0,25	0,03	0,08	0,04	0,58	0,44	1,18	1,12	1,20	1,15	0,55	0,72	0,59	0,69	0,70		
Mn		0,01	0,01	0,01	0,01	0,01	0,01	0,01	0,02	0,01	0,01	0,01	0,01	0,01	0,01	0,01	0,01	0,01	0,01	0,01	0,01	0,02	0,02	0,01	0,01	-	0,01	0,01	0,01	0,01			
Mg		3,58	3,61	3,51	3,41	3,45	3,53	3,56	3,48	3,40	3,37	3,44	3,32	3,40	3,48	3,40	4,20	4,18	4,17	3,31	3,35	2,95	2,92	2,83	3,43	3,38	3,42	3,32	3,37				
Total		5,00	5,00	5,00	5,00	5,00	5,00	5,00	5,00	5,00	5,00	5,00	5,00	5,00	5,00	5,00	5,00	5,00	5,00	5,00	5,00	5,00	5,00	5,00	5,00	5,00	5,00	5,00	5,00				
<b>Site B</b>																																	
Mg		0,01	0,02	0,01	0,05	0,09	0,31	0,08	0,06	0,06	0,01	0,04	0,07	0,06	0,07	0,14	0,08	0,15	0,10	0,18	0,13	0,12	-	-	-	-	0,07	0,07	0,06	0,01	0,11		
Fe <sup>3+</sup>		-	-	-	-	-	-	-	-	-	-	-	-	-	-	-	-	-	-	-	-	-	-	-	-	-	-	-	-	-			
Mn		-	-	-	-	-	-	-	-	-	-	-	-	-	-	-	-	-	-	-	-	-	-	-	-	-	-	-	-	-			
Ca		1,99	1,98	1,99	1,95	1,91	1,69	1,92	1,94	1,99	1,96	1,93	1,94	1,93	1,93	1,86	1,92	1,85	1,90	1,82	1,87	1,88	2,07	2,02	2,06	2,04	1,93	1,94	1,99	1,89			
Na		0,69	0,70	0,67	0,71	0,65	0,59	0,69	0,67	0,66	0,68	0,70	0,66	0,58	0,50	0,48	0,13	0,21	0,20	0,21	0,69	0,56	0,63	0,64	0,72	0,59	0,33	0,47	0,36	0,43	0,39		
K		0,13	0,13	0,13	0,13	0,08	0,09	0,06	0,11	0,11	0,08	0,08	0,06	0,06	0,01	-	-	-	-	-	0,10	0,10	0,10	0,10	0,10	0,10	0,10	0,10	0,10	0,10			
Total		0,83	0,84	0,80	0,85	0,73	0,69	0,75	0,78	0,77	0,77	0,74	0,74	0,66	0,56	0,54	0,14	0,21	0,20	0,21	0,69	0,56	0,73	0,74	0,82	0,68	0,60	0,78	0,68	0,72	0,70		
Mg#		0,88	0,86	0,89	0,84	0,84	0,85	0,83	0,87	0,87	0,88	0,88	0,83	0,84	0,87	0,90	0,94	0,91	0,92	0,91	0,86	0,89	0,71	0,73	0,71	0,71	0,86	0,83	0,86	0,83	0,83		

\*Note : (1) nombre d'Oxygène = 32 O ; (2) nd = non déterminé ; (3) - : limite de détection

Tableau IX: Analyses représentatives des amphiboles de la zone Principale

Site Roche	Zone principale										Lherzolite										Chromitite					Gabbro-norite					Harzburgite																																	
	Webstérite					S3A-40					S41-76					S12-60					S06-42					T2/2-27					S16-30					S12-63					S06-32					S2A-133					S12-60					S12-61					S06			
Echantillons	S2A-2	17	23	37	50	115	117	52	55	52	80	28	29	34	90	94	37	154	155	143	99	75	76	60																																								
SiO <sub>2</sub>	42,47	43,08	43,58	43,15	45,22	44,69	42,01	42,45	45,31	45,98	44,31	44,42	51,50	45,57	45,40	45,30	43,12	43,50	43,15	43,83	43,83	44,54	43,72																																									
TiO <sub>2</sub>	0,60	0,69	1,02	1,06	0,59	0,54	0,50	0,47	0,60	0,81	0,74	0,75	0,66	1,37	1,21	1,04	2,29	2,11	1,13	1,73	1,73	0,79	1,34																																									
Al <sub>2</sub> O <sub>3</sub>	15,35	15,53	14,86	15,18	13,19	13,94	15,49	15,31	14,01	13,57	12,86	13,32	7,04	11,55	12,00	12,40	13,28	13,40	13,15	13,08	13,08	12,98	13,65																																									
Cr <sub>2</sub> O <sub>3</sub>	0,73	0,80	0,69	0,76	0,32	0,48	0,56	0,51	0,86	0,25	0,91	1,08	0,25	1,22	1,66	1,30	0,72	0,66	1,50	1,79	1,79	0,50	0,68																																									
FeO	7,78	8,63	9,08	9,11	4,32	4,13	9,09	9,20	6,87	4,87	5,25	5,93	3,82	2,07	1,71	4,41	7,38	7,44	8,40	6,51	6,51	5,78	6,89																																									
Fe <sub>2</sub> O <sub>3</sub>	1,62	-	0,28	1,85	2,44	1,32	1,39	-	2,20	2,34	1,82	1,12	2,18	2,77	-	-	0,56	-	-	0,89	-																																											
Feot	9,24	8,63	9,08	9,36	5,98	6,32	10,28	10,45	6,87	6,85	7,35	7,57	4,83	4,03	4,21	4,41	7,38	7,44	8,90	6,51	6,51	6,59	6,89																																									
MnO	0,16	0,14	0,07	0,02	0,13	0,04	0,05	-	0,01	0,02	-	0,11	0,15	0,09	0,07	0,04	0,02	-	-	-	0,10	0,08																																										
MgO	14,52	14,61	14,53	14,37	17,34	17,16	14,87	14,22	16,74	17,18	16,85	17,70	15,56	15,30	16,05	16,05	17,00	17,00	15,74																																													
CaO	12,19	12,00	11,73	12,25	12,22	12,21	11,00	11,91	12,51	12,25	12,27	12,70	12,80	11,73	12,00	11,89	11,80	12,07	11,79																																													
Na <sub>2</sub> O	2,31	2,32	2,37	2,43	1,89	1,91	2,04	1,93	2,72	1,71	2,28	2,34	1,31	2,18	2,16	1,94	1,74	1,79	1,69	1,80	1,80	2,20	2,24																																									
K <sub>2</sub> O	0,71	0,67	0,46	0,41	0,30	0,33	1,71	1,61	0,36	0,45	0,70	0,70	0,10	0,12	0,11	0,80	1,37	1,32	1,74	1,49	1,49	0,62	0,28																																									
Total	98,28	98,47	98,39	98,99	97,18	97,62	98,51	98,86	99,45	98,58	99,41	98,10	97,94	98,60	97,50	96,93	98,10	98,45	98,08	98,08	97,39	96,41																																										
<b>Site T</b>																																																																
Si	6,12	6,18	6,27	6,17	6,43	6,33	6,08	6,12	6,39	6,40	6,29	6,27	7,16	6,41	6,34	6,45	6,30	6,27	6,24	6,32	6,32	6,38	6,35																																									
Al <sup>4</sup>	1,88	1,82	1,73	1,83	1,57	1,67	1,92	1,88	1,61	1,60	1,71	1,73	0,84	1,59	1,66	1,55	1,70	1,73	1,76	1,68	1,68	1,62	1,65																																									
Fe <sup>3+</sup>	-	-	-	-	-	-	-	-	-	-	-	-	-	-	-	-	-	-	-	-	-	-	-																																									
Total	8,00	8,00	8,00	8,00	8,00	8,00	8,00	8,00	8,00	8,00	8,00	8,00	8,00	8,00	8,00	8,00	8,00	8,00	8,00	8,00	8,00	8,00																																										
<b>Site C</b>																																																																
Al <sup>6</sup>	0,72	0,81	0,79	0,73	0,64	0,66	0,72	0,73	0,71	0,63	0,44	0,49	0,31	0,32	0,32	0,53	0,59	0,55	0,48	0,55	0,55	0,57	0,69																																									
Ti	0,06	0,07	0,11	0,11	0,06	0,06	0,05	0,05	0,06	0,08	0,08	0,08	0,01	0,14	0,13	0,11	0,25	0,23	0,12	0,19	0,19	0,09	0,15																																									
Cr	0,08	0,09	0,08	0,09	0,04	0,05	0,05	0,06	0,06	0,10	0,10	0,12	0,03	0,14	0,18	0,15	0,08	0,17	0,20	0,20	0,20	0,06	0,08																																									
Fe <sup>2+</sup>	0,94	1,04	1,09	1,09	0,51	0,49	1,10	1,11	0,81	0,57	0,62	0,70	0,45	0,24	0,20	0,53	0,90	0,90	1,02	0,79	0,79	0,69	0,84																																									
Fe <sup>3+</sup>	0,18	-	0,03	0,20	0,26	0,14	0,15	-	0,23	0,25	0,19	0,12	0,23	0,29	-	-	0,06	-	-	0,06	-	-	0,10																																									
Mn	0,02	0,02	0,01	-	0,02	-	0,01	-	-	-	0,01	-	0,01	0,02	-	-	-	-	-	-	-	0,01	0,01																																									
Mg	3,00	2,97	2,92	3,54	3,48	2,91	2,90	3,32	3,46	3,50	3,40	4,07	3,92	3,87	3,68	3,16	3,25	3,14	3,28	3,28	3,48	3,24																																										
Total	5,00	5,00	5,00	5,00	5,00	5,00	5,00	5,00	5,00	5,00	5,00	5,00	5,00	5,00	5,00	5,00	5,00	5,00	5,00	5,00	5,00	5,00																																										
<b>Site B</b>																																																																
Mg	0,12	0,16	0,19	0,12	0,14	0,15	0,30	0,16	0,20	0,13	0,14	0,14	0,10	0,05	0,08	0,09	0,16	0,16	0,16	0,18	0,18	0,15	0,17																																									
Fe <sup>2+</sup>	-	-	-	-	-	-	-	-	-	-	-	-	-	-	-	-	-	-	-	-	-	-	-																																									
Mn	-	-	-	-	-	-	-	-	-	-	-	-	-	-	-	-	-	-	-	-	-	-	-																																									
Ca	1,88	1,84	1,81	1,88	1,86	1,85	1,70	1,84	1,80	1,87	1,86	1,86	1,90	1,95	1,92	1,91	1,84	1,84	1,84	1,82	1,82	1,85	1,83																																									
Total	2,00	2,00	2,00	2,00	2,00	2,00	2,00	2,00	2,00	2,00	2,00	2,00	2,00	2,00	2,00	2,00	2,00	2,00	2,00	2,00	2,00	2,00																																										
<b>Site A</b>																																																																
Na	0,64	0,65	0,66	0,67	0,52	0,52	0,57	0,54	0,74	0,46	0,63	0,64	0,35	0,59	0,59	0,54	0,49	0,50	0,47	0,50	0,50	0,50	0,61	0,63																																								
K	0,13	0,12	0,08	0,07	0,05	0,06	0,32	0,30	0,06	0,08	0,13	0,13	0,02	0,02	0,02	0,15	0,26	0,24	0,32	0,27	0,27	0,11	0,05																																									
Total	0,78	0,77	0,75	0,58	0,58	0,89	0,84	0,81	0,54	0,75	0,77	0,37	0,62	0,61	0,68																																																	

Tableau X: Analyses représentatives des spinelles de la zone Extension 1

Site Roches	Extension 1				Extension 1				Extension 1			
	Chromite		Hézozlite		Webstérite à olivine		Webstérite					
Echantillons	SM24-1-102		SM24-1-83		SM1-182		SM1-67,8		SM24-1-118		SM24-1-97	
Analyses	487		488		491		492		496		440	
SiO <sub>2</sub>	(%)		0,03		0,07		0,02		0,15		0,03	
TiO <sub>2</sub>	0,52		0,57		2,38		0,38		0,12		0,08	
Al <sub>2</sub> O <sub>3</sub>	27,14		25,95		6,21		6,17		27,02		46,46	
Cr <sub>2</sub> O <sub>3</sub>	26,28		26,57		20,10		28,58		13,18		13,10	
FeO	22,87		23,89		28,24		29,04		21,69		19,90	
Fe <sub>2</sub> O <sub>3</sub>	13,35		13,46		37,15		36,76		11,07		6,73	
Feot	34,88		36,00		61,67		62,12		31,65		25,96	
MnO	0,01		0,03		0,13		0,14		0,11		0,08	
ZnO	nd		nd		nd		nd		nd		nd	
MgO	8,63		7,69		2,98		2,85		9,26		12,40	
CaO	0,01		-		0,02		-		0,01		0,01	
Na <sub>2</sub> O	0,04		0,08		0,22		0,05		0,04		-	
K <sub>2</sub> O	-		-		0,01		0,01		0,02		0,01	
Total	98,88		98,79		97,72		97,47		98,31		98,84	
Si	0,01		0,02		-		0,04		-		0,29	
Ti	0,10		0,11		0,53		0,52		0,07		0,01	
Al	8,05		7,82		2,15		2,14		8,01		12,45	
Cr	5,23		5,37		4,72		4,68		5,69		2,35	
Fe <sup>2+</sup>	4,82		5,11		6,93		7,17		4,57		3,79	
Fe <sup>3+</sup>	2,53		2,59		8,20		8,16		2,10		1,05	
Mn	-		0,01		0,03		0,02		0,02		0,03	
Zn	nd		nd		nd		nd		nd		nd	
Mg	3,24		2,93		1,30		1,25		3,47		4,20	
Ca	-		-		0,01		-		-		0,01	
Na	0,02		0,04		0,13		0,03		0,02		0,03	
K	-		-		-		-		-		-	
Total	24		24		24		24		24		24	
Fe <sup>2+</sup> / (Mg + Fe <sup>2+</sup> )	0,60		0,64		0,84		0,85		0,57		0,47	
Fe <sup>3+</sup> / (C <sup>3+</sup> +Al <sup>3+</sup> +Fe <sup>3+</sup> )	0,16		0,16		0,54		0,13		0,07		0,13	
C# = G <sup>3+</sup> / (C <sup>3+</sup> +Al <sup>3+</sup> )	0,39		0,41		0,69		0,42		0,16		0,30	
Mg# / Mg/(Mg+Fe <sup>2+</sup> )	0,40		0,36		0,16		0,15		0,43		0,53	
% Chromite	33,08		34,05		31,32		31,25		36,00		14,83	
% Spinelie	50,91		49,53		14,25		14,30		50,72		77,95	
% Magnétite	16,01		16,42		54,44		54,45		13,28		7,22	
Total	100,0		100,0		100,0		100,0		100,0		100,0	
<b>Selon la classification de Deer et al. (1983):</b>												
Spinelie	20,47		18,03		2,25		2,12		21,84		40,92	
Hercynite	30,44		31,46		11,94		12,12		28,73		36,87	
Gahnite	-		-		-		-		-		-	
Galaxite	0,01		0,04		0,06		0,15		0,15		0,20	
Magnétiferite	6,44		5,98		8,59		5,72		3,79		3,37	
Magnétite	9,21		10,01		42,89		43,38		7,27		3,38	
Franklinite	0,36		0,42		2,75		2,77		0,25		0,04	
Jacobsite	-		0,01		0,21		0,22		0,04		0,03	
Trevorite	-		-		-		-		-		-	
Magnésio-chromite	13,30		12,40		4,96		4,65		15,55		7,80	
Chromite	19,78		21,64		26,33		26,60		20,45		7,03	

\*Note : (1) nombre d'Oxygène = 32 O ; (2) nd = non déterminé ; (3) : limite de détection

**Tableau XI:** Analyses représentatives des spinelles de la zone principale

Site Roche Echantillons	Zone principale Harzburgite T2/2-27	506-116	Webstérite S41-76	Chromitite												S06-31	S03-32	S06-40								
				Iherzolite S06-135			S06-154			S 1 2 -		S12-76		S06-31												
Analyses	59	60	74	75	73	74	105	106	107	112	47	85	89	97	121	128	129	130	131	2	6	10	31	39	14	15
SiO <sub>2</sub> (%)	0.21	0.31	0.53	0.44	0.03	0.01	0.20	0.22	0.21	0.25	0.05	0.07	0.03	0.06	0.36	0.56	0.35	0.37	0.17	0.10	0.24	0.07	0.07	0.14	0.14	
TiO <sub>2</sub>	-	0.20	-	-	-	0.07	0.07	-	-	0.05	0.05	0.02	0.05	-	0.31	0.55	0.47	0.44	0.57	0.49	0.54	0.51	0.58	0.64	0.64	
Al <sub>2</sub> O <sub>3</sub>	59.73	60.01	58.91	59.15	46.19	45.76	53.02	52.04	53.28	56.11	37.21	61.38	61.79	63.46	57.08	23.28	17.03	23.11	22.57	22.39	21.48	22.92	23.38	22.52	22.52	
Cr <sub>2</sub> O <sub>3</sub>	4.22	4.03	4.48	4.65	14.50	14.79	10.39	10.12	9.84	8.05	19.41	2.50	2.16	0.69	9.14	33.34	32.78	33.42	33.43	34.49	34.34	33.47	32.95	32.34	33.52	
FeO	18.69	18.66	19.63	19.04	22.74	22.15	20.97	20.30	20.20	18.91	23.65	18.88	18.33	18.19	18.56	21.04	23.95	22.05	21.50	21.45	21.44	22.15	22.72	24.12	21.24	21.72
Fe <sub>2</sub> O <sub>3</sub>	4.97	4.39	4.52	4.60	6.01	5.85	5.11	5.66	5.48	3.23	9.31	2.20	2.42	2.28	4.14	12.26	17.61	13.14	12.67	11.44	11.86	10.97	11.61	11.59	8.92	8.16
FeOt	23.16	22.61	23.69	23.18	28.15	27.41	25.57	25.40	25.13	21.82	32.02	20.86	20.51	20.24	22.29	32.08	39.80	33.87	32.90	31.87	32.11	32.02	33.16	34.55	29.27	29.06
MnO	0.10	0.25	0.21	0.04	0.14	0.18	0.11	0.18	0.26	0.16	0.27	0.19	0.12	0.01	0.56	0.46	0.41	0.52	0.29	0.34	0.33	0.23	0.21	0.44	0.23	
ZnO	nd	nd	nd	nd	nd	nd	nd	nd	nd	nd	nd	nd	nd	nd	nd	nd	nd	nd	nd	nd	nd	nd	nd	nd	nd	
MgO	15.71	15.89	15.18	15.65	10.81	11.03	13.50	13.47	13.84	14.75	8.89	14.88	15.33	15.70	15.56	9.80	7.47	9.66	9.63	9.45	9.43	8.86	8.48	7.69	9.25	9.50
CaO	nd	nd	nd	nd	nd	nd	nd	nd	nd	nd	nd	nd	nd	nd	nd	nd	nd	nd	nd	nd	nd	nd	nd	nd	nd	
Na <sub>2</sub> O	nd	nd	nd	nd	nd	nd	nd	nd	nd	nd	nd	nd	nd	nd	nd	nd	nd	nd	nd	nd	nd	nd	nd	nd	nd	
K <sub>2</sub> O	nd	nd	nd	nd	nd	nd	nd	nd	nd	nd	nd	nd	nd	nd	nd	nd	nd	nd	nd	nd	nd	nd	nd	nd	nd	
Total	103.60	103.70	103.50	103.60	100.42	99.84	103.37	102.00	103.10	101.50	98.83	100.10	100.20	100.40	104.77	101.00	100.40	102.60	101.30	100.50	100.50	99.99	99.51	99.91	98.91	100.80
Si	0.04	0.06	0.11	0.09	0.01	-	0.04	0.05	0.04	0.05	0.01	0.01	0.01	0.01	0.09	0.15	0.09	0.09	0.04	0.03	0.06	0.02	0.02	0.04	0.04	
Ti	-	0.03	-	-	0.01	0.01	-	0.01	-	0.01	-	0.06	0.11	0.09	0.08	0.10	0.11	0.09	0.10	0.10	0.10	0.11	0.12	0.11	0.12	
Al	14.46	14.48	14.35	14.35	12.36	12.30	13.32	13.25	13.37	14.03	10.57	15.20	15.23	15.51	13.85	6.83	5.25	6.71	6.68	6.69	6.44	6.89	7.02	6.77	6.59	
Cr	0.69	0.65	0.73	0.76	2.60	2.67	1.75	1.73	1.66	1.35	3.70	0.42	0.36	0.11	1.49	6.57	6.78	6.51	6.59	6.86	6.84	7.14	6.64	6.52	7.22	7.56
Fe <sup>2+</sup>	3.21	3.20	3.39	3.28	4.32	4.23	3.74	3.67	3.60	3.36	4.77	3.32	3.21	3.16	3.20	4.39	5.24	4.54	4.49	4.54	4.52	4.72	4.85	5.15	4.53	4.56
Fe <sup>3+</sup>	0.77	0.68	0.70	0.71	1.03	1.00	0.92	0.90	0.92	0.52	1.69	0.35	0.38	0.36	0.64	2.30	3.47	2.44	2.38	2.25	2.10	2.23	1.71	1.54	1.54	0.05
Mn	0.02	0.04	0.01	0.03	0.02	0.03	0.05	0.03	0.03	0.06	0.03	0.02	-	0.04	0.12	0.10	0.09	0.11	0.06	0.07	0.05	0.05	0.10	0.05	0.05	0.05
Zn	nd	nd	nd	nd	nd	nd	nd	nd	nd	nd	nd	nd	nd	nd	nd	nd	nd	nd	nd	nd	nd	nd	nd	nd	nd	
Mg	4.81	4.85	4.80	3.66	3.75	4.29	4.34	4.40	4.67	3.20	4.66	4.78	4.85	4.78	3.64	2.91	3.55	3.58	3.54	3.54	3.36	3.22	3.52	3.55	3.55	
Ca	nd	nd	nd	nd	nd	nd	nd	nd	nd	nd	nd	nd	nd	nd	nd	nd	nd	nd	nd	nd	nd	nd	nd	nd	nd	
Na	nd	nd	nd	nd	nd	nd	nd	nd	nd	nd	nd	nd	nd	nd	nd	nd	nd	nd	nd	nd	nd	nd	nd	nd	nd	
K	nd	nd	nd	nd	nd	nd	nd	nd	nd	nd	nd	nd	nd	nd	nd	nd	nd	nd	nd	nd	nd	nd	nd	nd	nd	
Total	24	24	24	24	24	24	24	24	24	24	24	24	24	24	24	24	24	24	24	24	24	24	24	24	24	
Fe <sup>2+</sup> /(Cr <sup>3+</sup> +Al <sup>3+</sup> +Fe <sup>3+</sup> )	0.05	0.04	0.04	0.04	0.06	0.06	0.05	0.06	0.06	0.03	0.11	0.02	0.02	0.04	0.15	0.22	0.16	0.15	0.14	0.13	0.14	0.14	0.11	0.10	0.10	
Fe <sup>2+</sup> /(Mg+Fe <sub>2</sub> Si)	0.40	0.40	0.42	0.41	0.54	0.53	0.47	0.46	0.45	0.42	0.60	0.42	0.40	0.39	0.40	0.55	0.64	0.56	0.56	0.58	0.60	0.64	0.56	0.56	0.56	
Cr#-C <sup>3+</sup> /(Cr <sup>3+</sup> +Al <sup>3+</sup> )	0.05	0.04	0.05	0.05	0.17	0.18	0.12	0.12	0.11	0.09	0.26	0.03	0.02	0.01	0.10	0.49	0.56	0.51	0.53	0.49	0.48	0.52	0.53	0.53	0.53	
Mg# = Mg/(Mg+Fe <sup>2+</sup> )	0.60	0.60	0.58	0.59	0.46	0.53	0.54	0.55	0.58	0.40	0.58	0.60	0.61	0.60	0.45	0.36	0.44	0.44	0.44	0.42	0.40	0.36	0.44	0.44	0.44	
% Chromite	4.31	4.13	4.64	4.78	16.28	16.70	11.02	10.87	10.42	8.50	23.18	2.60	2.24	0.71	9.31	41.82	43.74	41.58	42.10	43.65	43.47	45.51	42.16	41.34	45.99	48.20
% Spinelle	90.86	91.59	90.91	90.71	77.29	77.01	83.81	83.33	84.06	88.25	66.23	95.21	95.37	97.06	86.67	43.52	33.87	42.85	42.71	42.56	42.23	41.07	43.70	44.54	43.09	41.98
% Magnétite	4.83	4.28	4.46	4.51	6.43	6.29	5.17	5.80	5.53	3.25	10.59	2.18	2.39	2.23	4.02	14.65	22.39	15.57	15.19	13.79	14.30	13.41	14.14	14.11	10.92	9.82
Total	100.0	100.0	100.0	100.0	100.0	100.0	100.0	100.0	100.0	100.0	100.0	100.0	100.0	100.0	100.0	100.0	100.0	100.0	100.0	100.0	100.0	100.0	100.0	100.0	100.0	

Selon la classification de Denev et al. (1982)

\*Note : (1) nombre d'Oxygène = 32 O ; (2) nd = non déterminé ; (3) - : limite de détection

## 5. Discussion

L'intrusion de Samapleu (occurrences E1 et SM) se compose d'unités cumulatives mafiques (gabbro-norite, norite, anorthosite) et ultramafiques (péridotite, pyroxénite et chromitite). L'évolution de ces séquences cumulatives, la pétrographie et la minéralogie des lithologies indiquent l'ordre suivant de mise en place: (i) péridotite et chromitite; (ii) ensemble pyroxénitique, enfin (iii) les séquences mafiques (Gouedji 2014). Les teneurs en Mg# toujours élevées dans les minéraux de la chromitite ainsi que les lithologies riches en olivine confirment que la chromitite et les lithologies riches en olivine se sont formées en premier lors de la mise en place de l'intrusion.

Les valeurs relativement faibles en  $\text{Cr}_2\text{O}_3$ ,  $\text{Na}_2\text{O}$  et  $\text{TiO}_2$  dans les cristaux de CPX montrent que ces derniers ont conservé des traces d'une origine magmatique primitive (Jagoutz et al., 2007). De plus, leur enrichissement modéré en fer (2 à 6 %) indique une différenciation magmatique (Khan et al., 1989). Les valeurs élevées en MgO dans les minéraux impliqueraient une origine mantellique de l'intrusion. Toutes les caractéristiques chimiques de ces minéraux indiquent que l'intrusion de Samapleu provient d'un magma d'origine mantellique qui se serait formé par cristallisation fractionnée. En outre, les valeurs des teneurs cationiques en Ni (inférieures à 2800 ppm) en rapport avec des teneurs en forstérite ( $\text{Fo}_{78}$  et  $\text{F}_{90}$ ) des olivines de l'intrusion caractérisent une intrusion litée (Naldrett, 1989). Ces teneurs nettement inférieures à 3500 ppm (teneur normale de Ni cation dans une olivine mantellique) expliqueraient en partie la présence de sulfure riche en Ni au sein du dyke de Samapleu (Ouattara, 1998 ; Gouedji, 2014 ; Gouedji et al, 2014).

Plusieurs signatures caractéristiques d'un métamorphisme de haut grade ont été recensées dans certains minéraux de l'intrusion de Samapleu : (i) présence de kinks de déformations, d'extinctions onduleuses ; (ii) présence abondante d'aluminium dans des OPX impliquant un métamorphisme de haut grade des roches contenant de tels OPX (Harley, 1998) ; (iii) fortes teneurs en anorthite dans les plagioclases dont l'enrichissement en anorthite traduit un degré de métamorphisme plus élevé (Laird et Albee, 1981 ; Mahmoud et Ghaleb, 2009) ; (iv) spinelles ayant des signatures de spinelles métamorphisées au faciès amphibolite supérieure à granulite avec une présence remarquable d'hercynite et de magnétite chromifère de haut grade de métamorphisme (Suita et Strieder, 1996 ; Barnes et Roeder, 2001).

Dans la région d'étude, le métamorphisme régional granulitique qui a affecté les roches encaissantes (granulites gneissiques, charnockites) de l'intrusion de Samapleu, ainsi que les roches associées sont datées du Libérien (2,8 Ga : Camil, 1981, 1984; Kouamelan et al., 1997; Gouedji, 2014 et Gouedji et al, 2014). Ce métamorphisme régional semble antérieur à la mise en place de l'intrusion de Samapleu.

Gouedji (2014) a mis en évidence un métamorphisme au contact entre l'intrusion et l'encaissant (granulite gneissique). Les conditions déterminées sur le faciès hybride (contact de l'intrusion avec l'encaissant gneissique) sont estimées à  $7,5 \pm 1$  kbar de pression et une température de  $850^\circ\text{C} \pm 100^\circ\text{C}$ . Ces pressions et températures sont certes celles du métamorphisme de contact entre l'intrusion et l'encaissant gneissique mais avec des valeurs d'un métamorphisme granulite. Cela implique une mise en place de l'intrusion à une pression et une température élevées, donc à la base de la croûte terrestre à environ 22 km de profondeur. De plus,

ce métamorphisme de contact est daté de 2,09 Ga (âge U/Pb sur rutile; Gouedji, 2014; Gouedji et al., 2014), âge qui correspondrait à celui de la mise en place du dyke de Samapleu.

De ce fait, les caractéristiques de métamorphisme granulitique reconnues par la pétrographie et la chimie des minéraux des lithologies de l'intrusion ne viennent pas du métamorphisme granulite libérien mais des caractéristiques résultant de la mise en place de l'intrusion à la base de la croûte à environ 22 km de profondeur.

Les teneurs en Ca-Tschermark's des CPX des zones E1 et SM de moyenne 4 à 6 % (valeurs d'un complexe stratiforme mis en place en profondeur autour de 5 Kbars) et localement 7 à 12 % (Tab. V et VI) impliquent une mise en place possible de l'intrusion à des pressions de 5 à 10 Kbars (profondeur de 16 km; Mercedes et Juana, 1973), ce qui renforce cette hypothèse. De plus, la composition des amphiboles de l'intrusion (tschermarkite, pargasite, hornblende) est interprétée comme des amphiboles magmatiques (Jagoutz et al., 2007) ayant des signatures d'amphiboles formées à moyenne-haute pression. Les températures de cristallisation des hornblendes mesurées au thermomètre de Holland et Blundy (1994) sont de  $730 \pm 40$ ,  $763 \pm 37$  et  $783 \pm 103^\circ\text{C}$  (Jarrar, 1998). Par conséquent, ces amphiboles se sont probablement formées durant la cristallisation du magma, soit avec l'implication de fluides lors de la mise en place de l'intrusion et/ou de la cristallisation des magmas (Zhao et Zhou, 2006 ; Sanghoon et al., 2012).

De même, le diagramme binaire  $\text{Al}^4$  versus  $\text{Al}^6$  des CPX confirme cette mise en place de l'intrusion dans des conditions d'un métamorphisme granulite et indique une composition basaltique du magma comme l'ont montré Gouedji (2014) et Gouedji et al (2014). La composition du liquide parent de l'intrusion de Samapleu montre une composition de basalte à forte teneur en MgO et faible teneur en Ti.

Par ailleurs, la lizardite (serpentine formée à température inférieure à  $300^\circ\text{C}$ ; Schwartz et al, 2012) qui est toujours présente dans les périclites se serait formée ultérieurement soit par altération régressive de l'olivine ou par rétromorphose lors de l'injection de fluides tardifs.

En considérant les résultats précédents, l'intrusion de Samapleu serait contemporaine et de la mise en place des basaltes de plateau océanique en rapport avec l'activité d'un panache ou à la convergence tectonique éburnéenne entre la croûte birimienne et la croûte archéenne entre 2,1 et 2,05 Ga (Abouchami et al., 1990 ; Lombo, 2009-2010).

Par ailleurs, les caractéristiques métamorphiques de faciès granulites de l'intrusion de Samapleu suggèrent une relation possible avec l'événement métamorphique éburnéen de haut grade décrit au sud de la faille Man-Danané par Pitra et al. (2010). Cependant aucune trace de métamorphisme de haut grade éburnéen n'est encore reconnue dans le domaine archéen au nord de la faille Man-Danané (où se situe l'intrusion de Samapleu) qui est considéré comme stable.

## 6. Conclusion

L'intrusion de Samapleu du complexe lité Yacouba se compose d'unités cumulatives, mafique (gabbro-norite, norite, anorthosite) et ultramafique (péridotite, pyroxénite et chromitite). L'ordre de mise en place des lithologies en fonction des caractéristiques pétrographiques et minéralogiques est le suivant : péridotite et chromitite en premier, ensemble

pyroxénitique et séquences mafiques.

La cristallochimie des minéraux comme l'olivine, l'OPX, le CPX et l'amphibole dans les lithologies des occurrences de l'Extension 1 et de la zone principale montrent que l'intrusion se serait formée à partir d'un magma mantellique de composition basaltique par cristallisation fractionnée. Elle se caractérise par des valeurs relativement faibles en  $\text{Cr}_2\text{O}_3$ ,  $\text{Na}_2\text{O}$  et  $\text{TiO}_2$ , un enrichissement modéré en fer (2 à 6 %) dans des CPX et des valeurs élevées en MgO des minéraux.

Les lithologies de cette intrusion ont les caractéristiques d'un métamorphisme de haut grade avec notamment des kinks de déformations, des extinctions onduleuses, l'abondance d'aluminium dans les OPX, de fortes teneurs en anorthite dans les espèces de plagioclase, la présence d'hercynite et de magnétite chromifère (spinelles du métamorphisme de haut grade). Ces caractéristiques résultent d'une mise en place de l'intrusion à une pression P de  $7,5 \pm 1$  Kbar et une température T de  $850^\circ\text{C} \pm 100^\circ\text{C}$ , donc à la base de la croûte à environ 22 km de profondeur. Les teneurs en  $\text{Al}^4$  et  $\text{Al}^6$  et celles élevées en Ca-Tschermak's des CPX ainsi que les espèces d'amphiboles présentes confirment une mise en place de l'intrusion à haute température et haute pression. La présence notable d'amphiboles traduirait l'implication de fluides lors de la mise en place de l'intrusion et/ou de la cristallisation des magmas.

Daté de 2,09 Ga (âge U/Pb sur rutile), le dyke de Samapleu serait contemporain et lié à la mise en place des basaltes de plateau océanique en rapport avec l'activité d'un panache ou à la convergence tectonique éburnéenne entre la croûte birmienne et la croûte archéenne entre 2,1 et 2,05 Ga.

## Remerciements

Nous remercions la société Sama Nickel-CI qui a financé ce travail. Les auteurs remercient également la SODEMI, le laboratoire Chrono-Environnement de l'Université de Franche-Comté (France), l'Université de Lausanne (Suisse), l'IST de Grenoble, le laboratoire mixte du BRGM - CNRS de l'Université d'Orléans (France) qui ont l'acquisition des données et la réalisation de ce travail.

## Références

- Abouchami, W., Boher, M., Michard, A., Albareda, F., 1990. A major 2.1 Ga old event of mafic magmatism in West Africa: an early stage of crustal accretion. *Journal of Geophysical Research*, 95: 17605-17629.
- Aoki, K.-I., Kushiro I., 1968. Some Clinopyroxenes from Ultramafic Inclusions in Dreiser Weiher. Eifel. *Contributions to Mineralogy and Petrology*, 18 : 326-337.
- Auzende, A., 2003. Evolution des microstructures des serpentinites en contexte convergent : effet du degré de métamorphisme et de la déformation. Thèse Doctorat, Université Joseph Fourier. Grenoble : 264 p.
- Auzende, A., Daniel, I., Reynard, B., Lemaire, C., Guyot, F., 2004. High-pressure behavior of serpentine minerals: a Raman spectroscopic study. *Physics and Chemistry of Minerals*, 31 (5): 269-277.
- Barnes, S.-J., Roeder L., P., 2001. The range of spinel compositions in terrestrial mafic and ultramafic rocks. *Journal of Petrology*. 42: 2279 - 2302.
- Berger, J., Diot, H., Khalidou, L., Ohnenstetter, D., Féménias, O., Pivin, M., Demaiffe, D., Bernard, A., Charlier, B., 2013. Petrogenesis of Archean PGM-bearing chromitites and associated ultramafic–mafic–anorthositic rocks from the Guelb el Azib layered complex (West African craton. Mauritania). *Precambrian Research*, 224 : 612-628.
- Camil, J., 1981. Un exemple de métamorphisme prograde de la base du faciès des amphibolites au faciès des granulites dans la région de Man (Ouest de la Côte d'Ivoire). *Comptes Rendus de l'Académie des Sciences*, Paris. 93 : 513-518.
- Camil, J., 1984. Pétrographie, chronologie des ensembles granulitiques archéens et formations associées de la région de Man (Côte d'Ivoire). Implication pour l'histoire géologique du Craton Ouest-Africain. Thèse Doctorat d'Etat ès Sciences, Université d'Abidjan : 306 p.
- Coulibaly, Y., Kouaho, B., Gnanzou, A., Allialy, M.E., Djro, S.C., 2012. Contexte géologique de la minéralisation aurifère du Prospect de Bobosso (région de Dabakala, Centre-Nord de la Côte d'Ivoire). *Journal de la Recherche Scientifique de l'Université de Lomé*, 14 (2) : 149-162.
- Deer, W., A., Howie, R., A., Zussman, J., 1992. An introduction to the rock forming minerals; Longman group limited. Distributed in the U.S.A by Halsted Press. a Division of John Wiley Sons. Inc. 2nd edition, New York: 696 p.
- Gouedji, G., E., F., 2014. Les séquences mafiques-ultramafiques de Samapleu et leurs minéralisations en Ni-Cu-EGP: un dyke du complexe lité Yacouba ; craton archéen de Man, Ouest Côte d'Ivoire. Thèse Doctorat Université Franche Comté-Besançon / Université Félix Houphouët Boigny d'Abidjan : 380 p.
- Gouedji, F., Picard, C., Coulibaly, Y., Audet, M.-A., Auge, T., Goncalves, P., Paquette, J.-L., Ouattara, N., 2014. The Samapleu mafic-ultramafic intrusion and its Ni-Cu-PGE mineralization: an Eburnean (2.09 Ga) feeder dyke to the Yacouba Layered Complex (Man Archean craton, Western Ivory Coast). *Bulletin de la Société Géologique de France*. 185 (6): 393-411.
- Groppi, C., Rinaudo, C., Cairo, S., Gastaldi, D., Compagnoni, R., 2006. Micro-Raman spectroscopy for a quick and reliable identification of serpentine minerals from ultramafics. *European Journal of Mineralogy*. 18: 319-329.
- Harley, S., L., 1998. On the occurrence and characterization of ultrahigh-temperature crustal metamorphism. In : Treloar, P., J., & O'Brien, P., J., (eds) What Drives Metamorphism and Metamorphic Reactions ? *Geological Society, Special Publication*, London: 138: 81-107.
- Holland, T., Blundy, J., 1994. Non-ideal interactions in calcic amphiboles and their bearing on amphibole-plagioclase thermometry. *Contributions to Mineralogy and Petrology*, 116 (4): 433-47.
- Jagoutz, O., Müntener, O., Ulmer, P., Pettke, T., Burg, J.-P., Dawood, H., Hussain, S., 2007. Petrology and Mineral Chemistry of Lower Crustal Intrusions: The Chilas Complex. Kohistan (NW Pakistan). *Journal of Petrology*, 48 (10): 1895-1953.

- Jarrar, G., 1998. Mineral chemistry in dioritic hornblendites from Wadi Araba, southwest Jordan. *Journal of African Earth Sciences*, 26 (1): 285-295.
- Khan, M., A., Jan, M., Q., Windley, B., F., Tarney, J., Thirlwall, M., F., 1989. The Chilas mafic-ultramafic igneous complex; the root of the Kohistan island arc in the Himalaya of northern Pakistan. In: Malinconico. L. L., Jr and Lillie. R. J. (Eds). Tectonics of the Western Himalayas. *Geological Society of America. Special Papers*, 232 : 75-94.
- Kouamelan, A.N., 1996. Géochronologie et géochimie des formations archéennes et protérozoïques de la dorsale de Man en Côte d'Ivoire. Implication pour la transition archéen-protérozoïque. Thèse de doctorat Université Géosciences Rennes1 France : 167 p.
- Kouamelan, A.N., Delor, C., Peucat, J.J., 1997. Geochronological evidence for reworking of Archaean terrains during the Early Proterozoic (2.1 Ga) in the western Côte d'Ivoire (Man Rise - West African Craton). *Precambrian Research*, 86: 177-199.
- Kouamelan, A.N., Djro, S.C., Allialy, M.E., Paquette, J.-L., Peucat, J.-J., 2015. The oldest rock of Ivory Coast. *Journal of African Earth Sciences*, 103: 65-70.
- Kouamelan, A.N., Kouassi, S.A., Djro, S.C., Paquette, J.-L., Peucat, J.-J., 2017. The Logoualé Band: A large Archean crustal block in the Kenema-Man domain (Man-Leo rise, West African Craton) remobilized during Eburnean orogeny (2.05 Ga). *Journal of African Earth Sciences*, In press. doi:10.1016/j.jafrearsci.2017.09.004.
- Laird, J., Albee, A., L., 1981. Pressure, Temperature and time indicators in mafic schist: their application to reconstructing the polymetamorphic history of Vermont. *American Journal of Science*, 281: 127-175.
- Leake B., E., Woolley, A., R., birch, W., D., Burke, E., A-J., Ferraris G., Grice, J., D., Hawthorne, F., C., Kisch, H., J., Krivovichev, V., G., Schumacher, J., C., Stephenson, N., C., N., Whittaker, E., J. W., 2004. Nomenclature of amphiboles: Additions and revisions to the International Mineralogical Association's amphibole nomenclature. *American Mineralogist*, 89: 883-887.
- Lemaire, C., 2000. Application des spectroscopies vibrationnelles à la détection d'amiante dans les matériaux et à l'étude des serpentines. Thèse Doctorat Université de Paris 7: 157 p.
- Lompo, M., 2009. Geodynamic evolution of the 2.25-2.0 Ga Palaeoproterozoic magmatic rocks in the Man-Leo shield of the West African craton. A model of subsidence of an oceanic plateau. *Geological Society, Special Publications*, London, 323: 231-254.
- Lompo, M., 2010. Paleoproterozoic structural evolution of the Man-Leo shield (West Africa). Key structures for vertical to transcurrent tectonics. *Journal of African Earth Sciences*, 58: 19-36.
- Mahmoud, A., H., Ghaleb, H., J., 2009. Petrology and geochemistry of the metasediments of the Janub metamorphic suite. Southern Jordan: Implications for geothermobarometry and Economic Potential. *Jordan Journal of Earth and Environmental Sciences*, 2 (1): 7-17.
- Mercedes, M., Juana, S., 1973. Clinopyroxenes as Geobarometric Indicators in Mafic and Uhermatic Rocks from Canary Islands. Department of Petrology and Geochemistry. University of Madrid. *Contributions to Mineralogy and Petrology*, 44: 139-147.
- Morimoto, N., 1989. Nomenclature of pyroxenes. *Canadian Mineralogist*, 27: 143-156.
- Naldrett, A., J., 1989. Magmatic sulfide deposits. Oxford University Press (Edit.), Oxford. *Monographs on Geology and Geophysics*, 14: 186 p.
- Ouattara, N., 1998. Pétrologie, géochimie et métallogénie des sulfures et des éléments du groupe du platine des ultrabasites de Côte d'Ivoire : Signification géodynamique et implications sur les processus de croissance crustale à l'Archéen et au Paléoprotérozoïque. Thèse de doctorat Université d'Orléans, 199 p.
- Pitra, P., Kouamelan, A.N., Ballevre, M., Peucat, J.J., 2010. Palaeoproterozoic high pressure granulite overprint of the Archean continental crust: evidence for homogeneous crustal thickening (Man Rise, Ivory Coast). *Journal of Metamorphic Geology*, 28: 41-58.
- Roubault, M., Fabries, J., Touret, A., Weisbrod, 1963. Détermination des minéraux des roches au microscope polarisant. Edition Lamarre-Poinat 4. Rue Antoine Dubois. Paris-6<sup>e</sup>: 368p
- Sanghoon, K., Sung, W., K., Santosh, M., 2012. Multiple generations of mafic-ultramafic rocks from the Hongseong suture zone. Western South Korea: Implications for the geodynamic evolution of NE Asia. *Lithos*, 160-161 : 68-83.
- Schwartz, S., Guillot, S., Tricart, P., Bernet, M., Jourdan, S., Dumont, T., Montagnac, G., 2012. Source tracing of detrital serpentinite in the Oligocene molasse deposits from the western Alps (Barrême basin): implications for relief formation in the internal zone. *Geological Magazine*, Cambridge University Press (CUP): 1-16.
- Schwartz, S., Guillot S., Reynard B., Lafay R., Debret B., Nicolle C., Lanari P., Auzende A., 2012. Pressure-temperature estimates of the lizardite/antigorite transition in high pressure serpentinites. *Lithos*, 178 : 197-210.
- Seyler, M., 2017. Cahier de Minéralogie n°4 : Compositions et nomenclature des amphiboles. *Bulletin de Liaison de la Société Française de Minéralogie et Cristallographie*, 19 : 31-35.
- Suita, M., T., F., Strieder, A., J., 1996. Cr-Spinels from Brazilian Mafic-Ultramafic Complexes: Metamorphic Modifications. *International Geology Review*, 38 : 245-267.
- Thieblemont, D., Goujou, J.C., Egal, E., Cocherie, A., Delor, C., Lafon, J.M., Fanning, C.M., 2004. Archaean evolution of the Leo Rise and its Eburnean reworking. *Journal of African Earth Sciences*, 39: 97-104.
- Zhao, J., H., Zhou, M., F., 2006. Neoproterozoic mafic intrusions in the Panzhihua district. SW China: implications for interaction between subducted slab and mantle wedge. *Geochimica et Cosmochimica Acta*, 70 : A740-A1740.